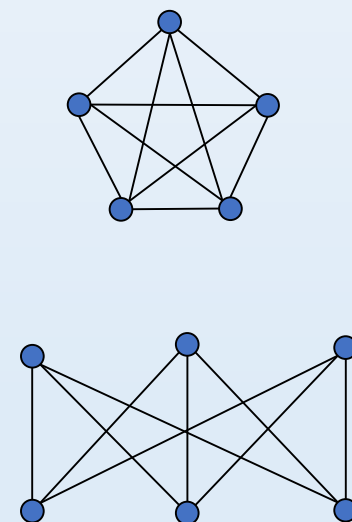
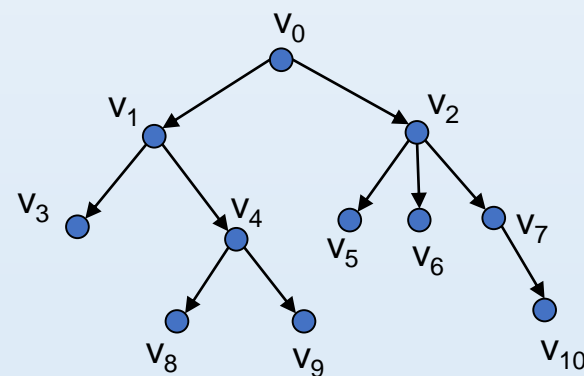
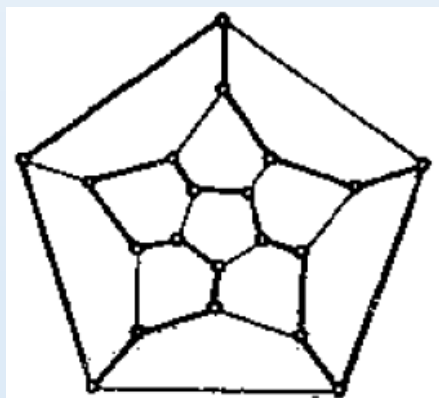
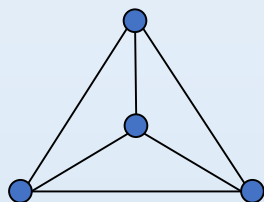


# 离散数学

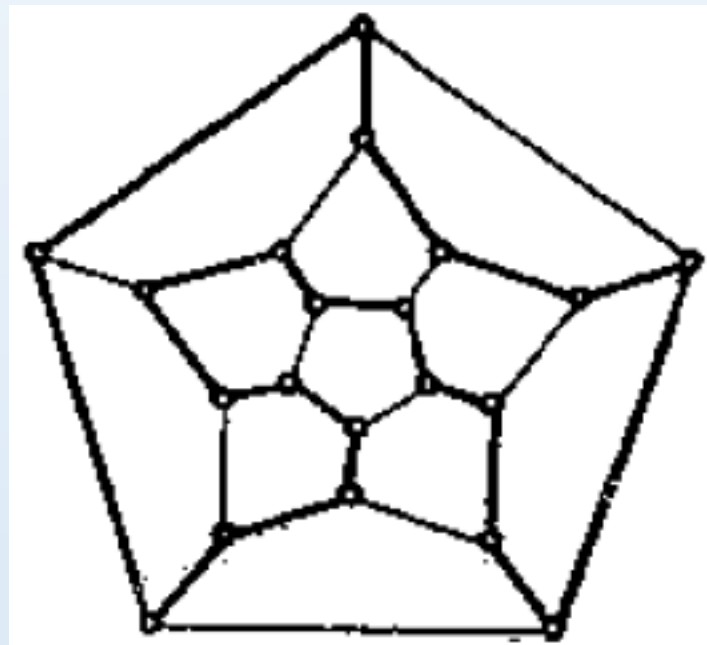
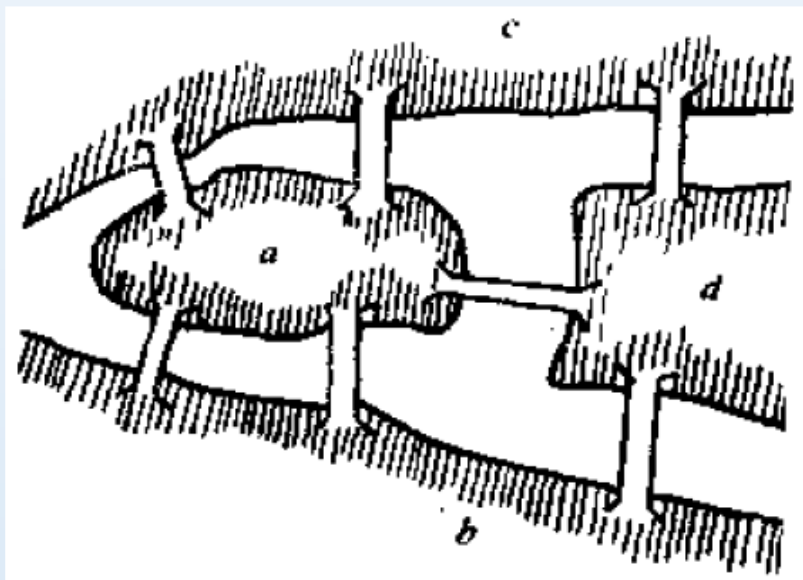
## Discrete Mathematics

### 第八章 图论



# 第八章 图论

图论是一个古老的数学学科，有许多著名的古典问题：**欧拉的七桥问题**，邮递员问题，一笔画问题，**旅行商问题**，四色定理（地图染色），加权图中的最短道路等。印刷电路的布线，电子地图寻找最短道路。

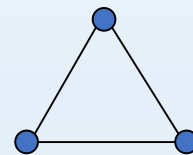
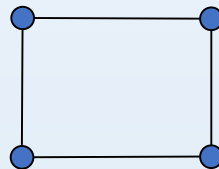
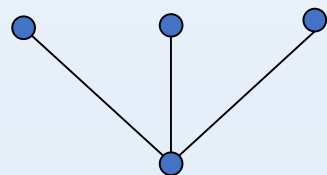


# 第八章 图论

## 8.1 基本概念

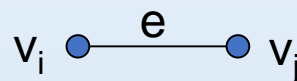
图由点和边构成，点和边是图的两个要素。

**定义8-1 图：** 设 $V$ 是一个非空有限集合， $E$ 是 $V$ 上的一个二元关系，则有序二元组 $(V,E)$ ，记 $G=(V,E)$ ，称为图。其中 $V$ 称为**结点集**， $E$ 称为**边集**。



$(n,m)$ 图：  $\#V=n$ ，  $\#E=m$ 。  $(n,0)$ **零图**，  $(1,0)$ **平凡图**。

**邻接点：** 点 $v_i$ 与点 $v_j$ 邻接

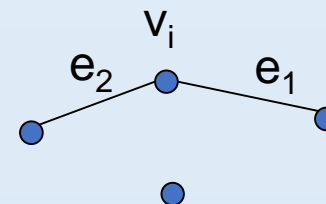


**关联：** 边 $e$ 与点 $v_i$ 及 $v_j$ 关联

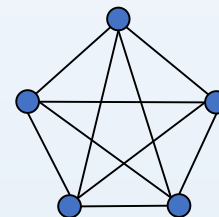
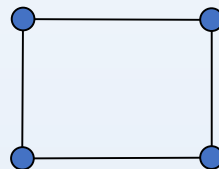
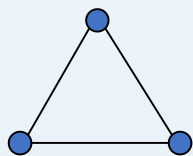
**邻接边：** 两条边关联同一个点

**孤立点：** 没有点与之邻接，或没有边与之关联。

**孤立边：** 没有边与之邻接。



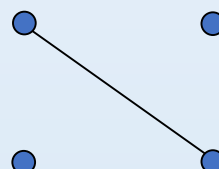
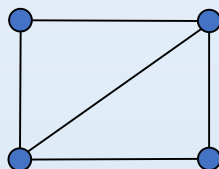
**定义8-2 完全图：**任意两点都是邻接的（任意两点都有边相连）。N个结点的完全图记为 $K_n$ 。



完全图的边数结点数关系

$$m = C_n^2 = n(n-1)/2$$

**定义8-3 补图：**由图G的所有结点和为了使图G成为完全图所需添加的所有边构成的图，记  $\overline{G}$ 。



图与补图互为补图。

若将完全图的边集看作全集的话，图与补图的边集互为补集。

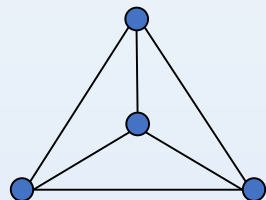
$$K_n = (V, E), \quad G = (V, E_1), \quad \overline{G} = (V, E_2) \Rightarrow E_1' = E_2$$

**结点度**：与一个点相关联的边数。

对 $(n,m)$ 图，有

$$\sum_{i=1}^n \deg(v_i) = 2m$$

**定义8-4 正则图**：所有的结点的度相同，称正则图。若度为 $d$ ，称 $d$ 次正则图。如完全图。

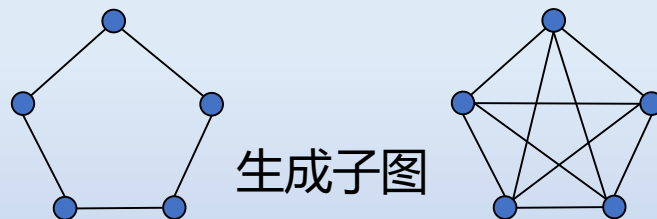


**定义8-6 子图**：  $G_1=(V_1,E_1)$ ，  $G_2=(V_2,E_2)$ ， 若  $V_2 \subseteq V_1$ ，  $E_2 \subseteq E_1$ ， 则称 $G_2$ 是 $G_1$ 的子图，

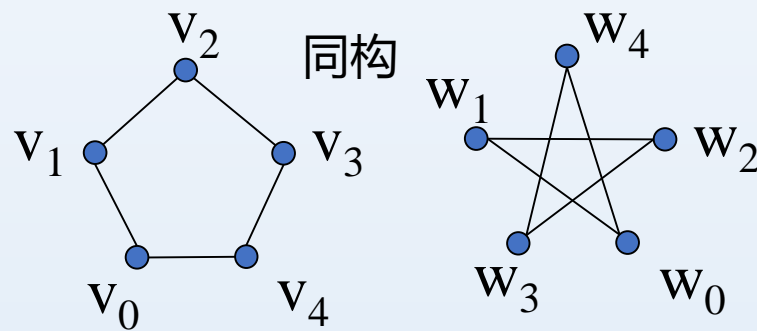
记  $G_2 \subseteq G_1$ 。

**真子图**： 若  $V_2 \subseteq V_1$ ，  $E_2 \subset E_1$ ， 则称 $G_2$ 是 $G_1$ 的**真子图**。

**生成子图**： 若  $V_2 = V_1$ ，  $E_2 \subseteq E_1$ ， 则称 $G_2$ 是 $G_1$ 的**生成子图**。



**定义8-5** 两图同构:  $G_1=(V_1,E_1)$ ,  $G_2=(V_2,E_2)$ , 若存在一个双射 $h:V_1\rightarrow V_2$ , 使得当且仅当 $\{v_i,v_j\}$ 是 $G_1$ 中的边时,  $\{h(v_i),h(v_j)\}$ 是 $G_2$ 中的边, 则称 $G_2$ 同构与 $G_1$ 。



**路：**图 $G$ 中相邻边的序列 $\{v_0, v_1\}, \{v_1, v_2\}, \dots, \{v_{l-1}, v_l\}$ 称为 $v_0$ 到 $v_l$ 的路，边的数目 $l$ 称为路的长度。

路也可表示为： $v_0, v_1, v_2, \dots, v_{l-1}, v_l$

**开路：** $v_0 \neq v_l$

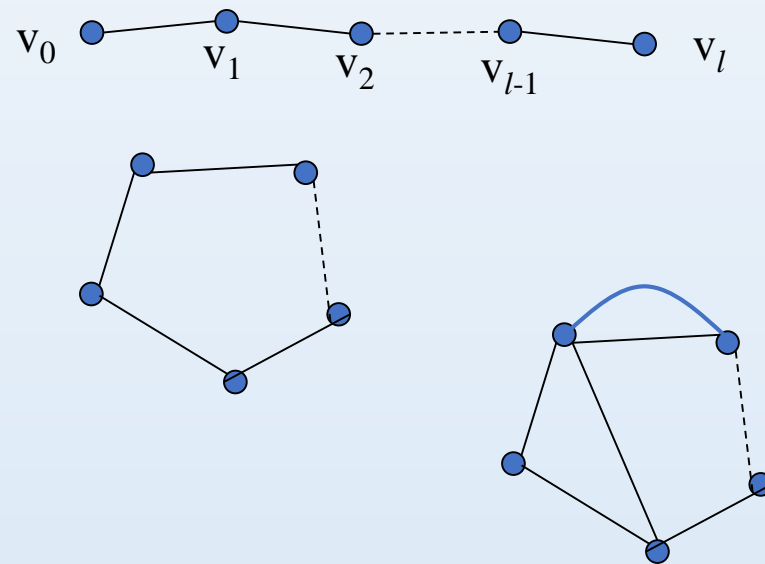
**回路：** $v_0 = v_l$

**真路：**路上没有相同的结点。真路必为开路。

**环：**回路上除了起点和终点外，没有相同的结点。

**简单道路：**路上无相同的边。

**短程：**两点间最短的道路。短程的长度称距离 $d(v_i, v_j)$ 。



**定理8-1:**  $n$ 个结点的图 $G$ 中, 若 $v_i$ 到 $v_j$ 有路, 则其短程是一条长度 $l \leq n-1$ 的真路。

证明: 设 $v_i$ 到 $v_j$ 的路为

$$v_i, v_{i1}, v_{i2}, \dots, v_{ir}, v_{r+1}, \dots, v_{ik}, v_{ik+1}, \dots, v_{il-1}, v_j$$

若有相同的结点, 即 $v_{ir}=v_{ik}$ , 则去掉回路

$$v_{r+1}, v_{i+2}, \dots, v_{ik}$$

后, 路

$$v_i, v_{i1}, v_{i2}, \dots, v_{ir}, v_{ik+1}, \dots, v_{il-1}, v_j$$

仍为 $v_i$ 到 $v_j$ 的路, 只是长度较短。因此, 去掉所有回路后, 路上没有相同的结点, 为真路, 而真路的长度必不大于 $n-1$ 。若 $l \geq n$ , 则路上结点的数目为 $l+1 \geq n+1$ , 但不同的结点数只有 $n$ 个, 因此必有两个是相同的, 与真路矛盾。

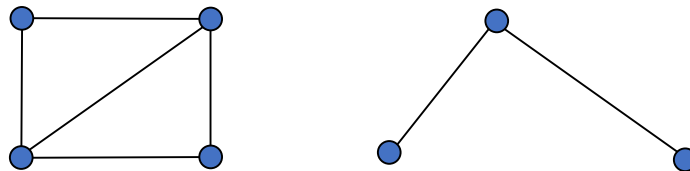
**推论:**  $n$ 个结点的图 $G$ 中, 环的长度不大于 $n$ 。

**连接性 (可达的):** 若 $v_i$ 到 $v_j$ 有路, 称 $v_i$ 与 $v_j$ 是连通的 (可达的)。



**定义8-7 连通图与不连通图：**图中任意两点都是连通的，或任意两点有路相连，称图是连通的，否则，称不连通的。

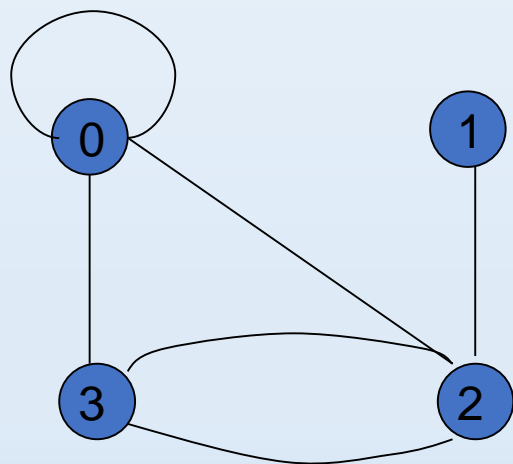
**分图：**



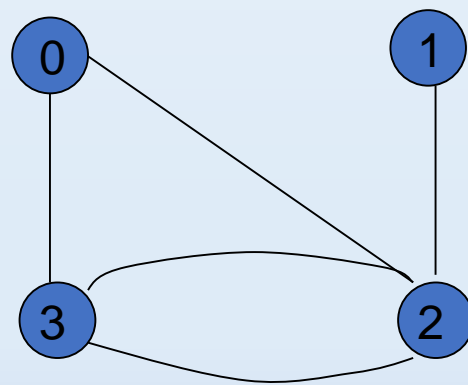
**伪图：**  $G=(V, E)$ ， $V$ 有限， $E$ 是多重集。即有自回路，多重边(两点间有多条边)。

**多重图：**无自回路，有多重边。

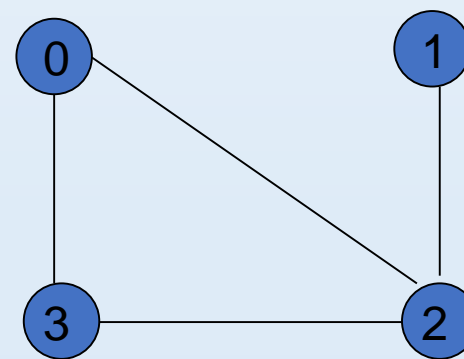
**简单图：**无自回路，无多重边。



伪图

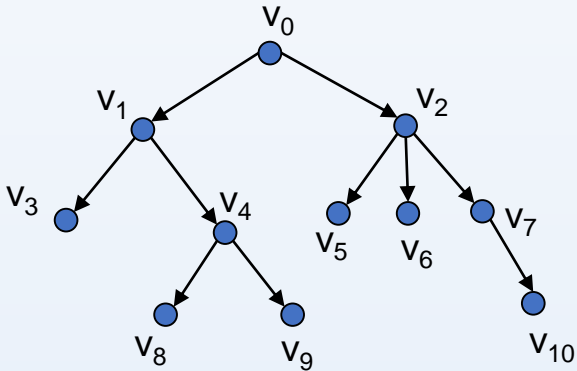


多重图

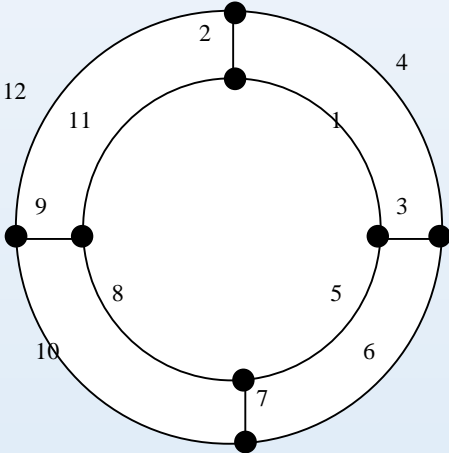


简单图

**有向图：**边是有向边，即  $\{v_i, v_j\}$  是有序对， $\{v_i, v_j\} \neq \{v_j, v_i\}$ 。  
A上的关系图就是一个有向图。



**有权图：**每一条边都指定了权。  
如交通图，计算机网络，自来水管网。



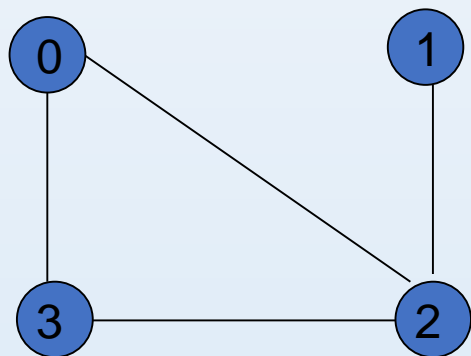
有权图也可用三元有序组表示：  $G=(V, E, f)$ 。  
 $f$ 是权的集合， $f=f(E)$ 。

## 8.2 图的矩阵表示

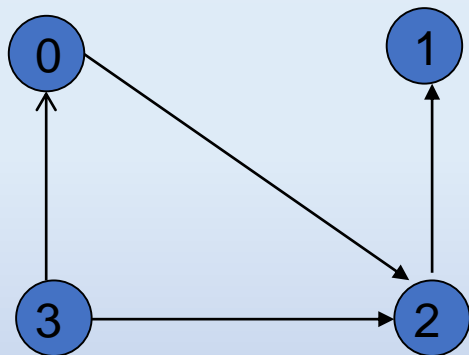
定义8-8 **邻接矩阵**：同关系矩阵。 $G=(V,E)$ ,  $V=\{v_1,v_2,\dots,v_n\}$ 。定义邻接矩阵

$$A = (a_{ij})_{n \times n} \quad a_{ij} = \begin{cases} 1 & \{v_i, v_j\} \in E \\ 0 & \{v_i, v_j\} \notin E \end{cases}$$

若不是有向图，则矩阵必然对称。



$$A = \begin{bmatrix} 0 & 0 & 1 & 1 \\ 0 & 0 & 1 & 0 \\ 1 & 1 & 0 & 1 \\ 1 & 0 & 1 & 0 \end{bmatrix}$$



$$A = \begin{bmatrix} 0 & 0 & 1 & 0 \\ 0 & 0 & 0 & 0 \\ 0 & 1 & 0 & 0 \\ 1 & 0 & 1 & 0 \end{bmatrix}$$

矩阵相乘  $A^l = A \times A \times \cdots \times A = (a_{ij}^{(l)})$

**定理8-2** 元素  $(a_{ij}^{(l)})$  是连接  $v_i$  到  $v_j$ 、长度为  $l$  的路的总数。使  $(a_{ij}^{(l)}) \neq 0$  的最小  $l$  为距离。

矩阵  $\tilde{A} = A^1 + A^2 + \cdots + A^{n-1} = (\tilde{a}_{ij})$

的元素  $\tilde{a}_{ij}$  为连接  $v_i$  到  $v_j$  的路的总数，若  $\tilde{a}_{ij}$  为0，则无路相通。

定义8-9 **连接矩阵**  $C = A[+]A^{(2)}[+] \cdots [+]A^{(n)}$

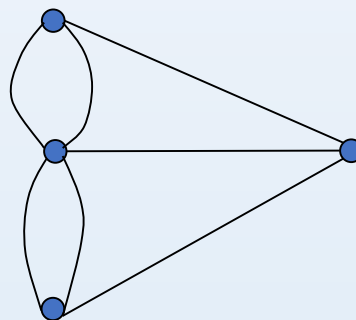
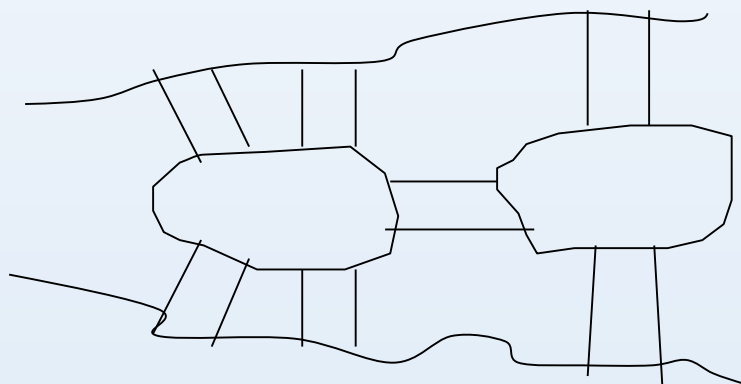
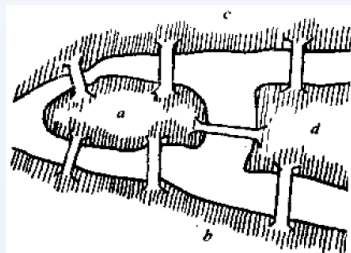
矩阵运算为布尔运算，同关系矩阵的运算。

连接矩阵可用于判断两点间的连通性和图的连通性。连接矩阵就是求传递闭包。

## 8.4 欧拉图和哈密顿图

欧拉图

七桥问题:

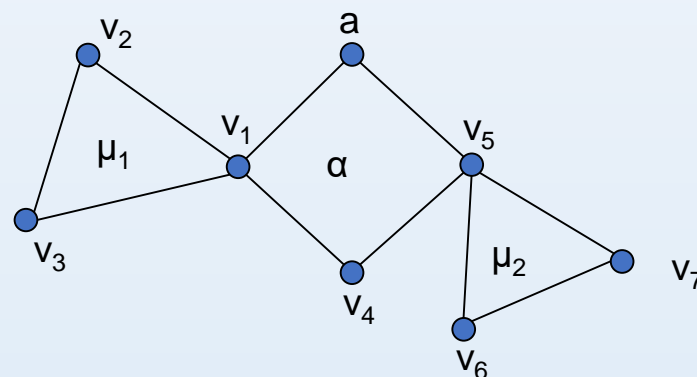


**欧拉回路：**所有的边都在出现回路上，且出现一次。或从一点出发经过所有的边，且只经过一次，然后回到起点。

**欧拉图：**具有欧拉回路的图。

考察一个回路，回路上所有的点都和两条边关联，即一个点的度为2，考虑到回路上有相同的点，一个点的度应为偶数。

定理8-6 欧拉定理：一个连通图G为欧拉图的充要条件是G的每一个结点的度均为偶数。



$$av_1v_2v_3v_1v_4v_5v_6v_7v_5a = av_1v_4v_5a + v_1v_2v_3v_1 + v_5v_6v_7v_5$$

$$= \alpha [a, v_1] + \mu_1 + \alpha [v_1, v_5] + \mu_2 + \alpha [v_5, a]$$

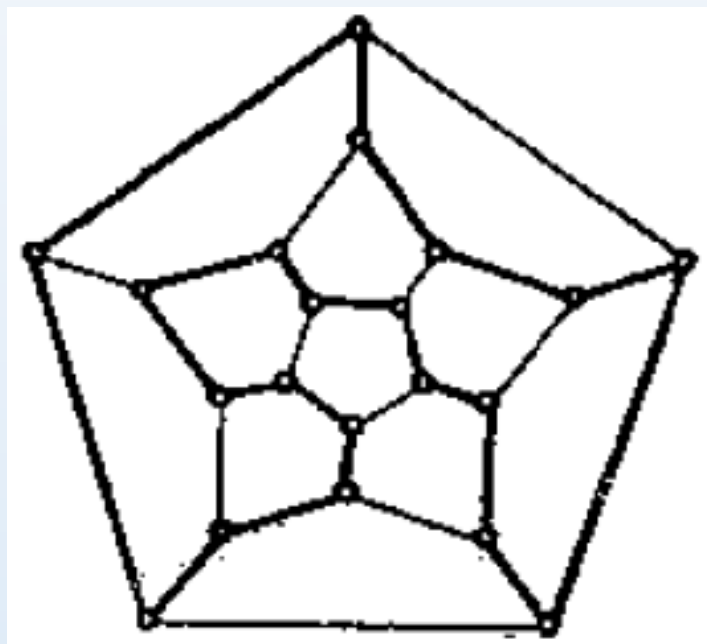
$v_1$ 和 $v_5$ 是回路的公共结点。

**欧拉路：**通过所有边，且只通过一次的开路。

**定理8-7：**连通图具有欧拉路的条件充要条件是仅有两个奇数结点，其中一个奇数结点为起点，另一个奇数结点为终点。

证明：将两奇数结点用一条边连接起来，图的所有结点的度都成为偶数，该图必然有一欧拉回路，再将回路中增加上去、连接两奇数结点的边去掉，回路成为一条经过所有边的开路，即欧拉路。

周游世界问题：将一个正十二面体看成地球，它的二十个结点看成地球上的城市，能否找到一条旅行线路，从一个城市出发，经过每一个城市，且只经过一次，最后回到原城市。答案是存在的。



**哈密顿环**：经过图中所有的点，且经过一次的回路，该回路上所有的点都不相同，也是环。

**哈密顿图**：存在哈密顿环的图。

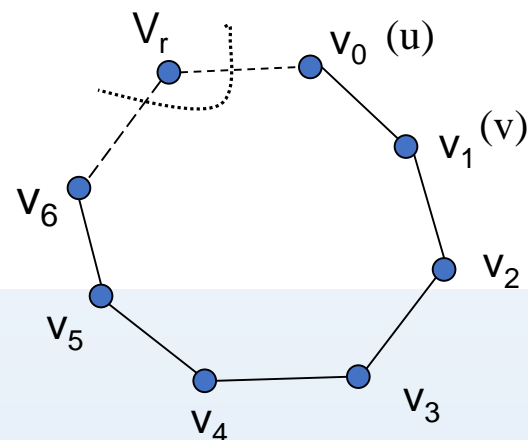
哈密顿图是否有欧拉图那样的充分必要条件？答案是不存在。



**定理8-8（必要条件）：** 若图 $G=(V,E)$ 是哈密顿图，则对于 $V$ 的任意一个非空子集 $S$ ，有

$$W(G-S) \leq \#S$$

$W(G-S)$ 是 $G-S$ 中分图的数目。



证明： 设

$$\alpha = v_0 v_1 v_2 \dots v_{n-1} v_0$$

是图 $G$ 的哈密顿环，在 $\alpha$ 中删去 $S$ 中的任意一个节点 $u_1$ ，则 $\alpha - u_1$ 是一条开路，所以 $W(\alpha - u_1) = 1$ ，若再删去 $S$ 中的一个结点 $u_2$ ，则 $W(\alpha - \{u_1, u_2\}) \leq 2, \dots$ ，当删去 $S$ 中的第 $r$ 个结点时， $W(\alpha - \{u_1, u_2, \dots, u_r\}) \leq r$ ，

因此当删去 $S$ 中所有的结点后， $W(\alpha - S) \leq \#S$ ，而 $\alpha - S$ 是 $G-S$ 的一个生成子图，必有 $W(G-S) \leq W(\alpha - S)$ ，于是得到 $W(G-S) \leq \#S$

定理8-9: 设 $G$ 是有 $n$ 个结点的图, 若对于图中任意不相邻的结点 $u$ 和 $v$ , 有

$$\deg(u) + \deg(v) \geq n$$

则当且仅当图 $G + \{u, v\}$ 是哈密顿图时, 图 $G$ 是哈密顿图。

证明:

必要性: 设 $G$ 是哈密顿图, 则增加一条边, 不影响哈密顿环,  $G + \{u, v\}$ 显然是哈密顿图。

充分性: 设 $G + \{u, v\}$ 是哈密顿图, 则存在哈密顿环

$$\alpha = v_0 v_1 v_2 \dots v_{n-1} v_0$$

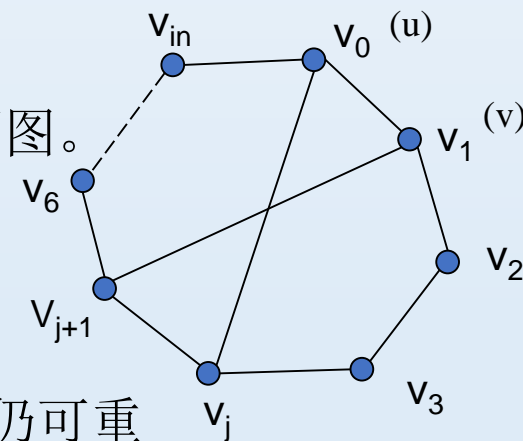
(1) 若边 $\{u, v\}$ 不在环 $\alpha$ 上, 则 $\alpha$ 也是图 $G$ 的哈密顿环, 图 $G$ 是哈密顿图。

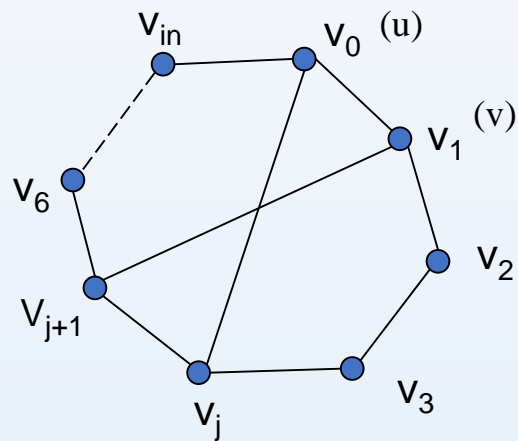
(2) 若边 $\{u, v\}$ 在哈密顿环上, 设 $v_0 = u$ ,  $v_1 = v$ , 哈密顿环可写为

$$\alpha = u v v_2 \dots v_{n-1} u$$

此时若存在 $j$ , 使得 $u$ 与 $v_j$ 相邻,  $v$ 与 $v_{j+1}$ 相邻, 使得去掉边 $\{u, v\}$ 后, 仍可重  
构哈密顿环

$$\beta = u v_j v_{j-1} \dots v_2 v v_{j+1} v_{j+2} \dots v_{n-1} u$$





即图G是哈密顿图。

若不存在，因 $u$ 与 $\deg(u)$ 个结点相邻，则 $v$ 与 $\deg(u)$ 个结点不相邻，故

$$\deg(v) \leq n-1-\deg(u)$$

$$\deg(v)+\deg(u) \leq n-1$$

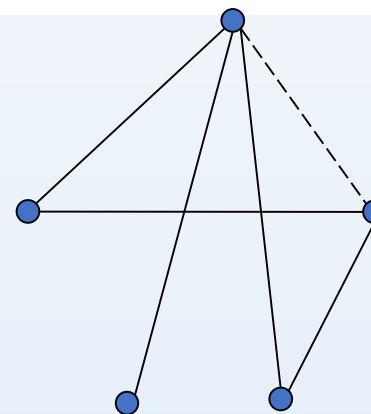
与前提  $\deg(u)+\deg(v) \geq n$

矛盾。

**定义8-8 闭图：** 设 $G$ 是具有 $n$ 个结点的图，若对于 $\deg(u)+\deg(v)\geq n$ 的每一对结点，均有 $u$ 与 $v$ 相邻接，称图 $G$ 是闭图。

**定义8-10 闭包：** 包含图 $G$ ，且边最少的闭图 $G_c$ 。

- (1) 图 $G$ 是 $G_c$ 的生成子图；
- (2)  $G_c$ 是闭图；
- (3) 若存在闭图 $H$ ，满足 $G\subseteq H$ ，则 $G\subseteq G_c\subseteq H$ 。



**定理8-12 当且仅当图 $G$ 的闭包 $G_c$ 是哈密顿图时，图 $G$ 是哈密顿图。**

由于完全图是哈密顿图，因此有

**推论1：** 若图的闭包是完全图 $K_n$ ，且 $n\geq 3$ ，则该图一定是哈密顿图。

**推论2：** 图 $G=(V,E)$ ， $\#V\geq 3$ ，若对于任意的 $v\in V$ ，有 $\deg(v)\geq n/2$ ， $G$ 是哈密顿图。

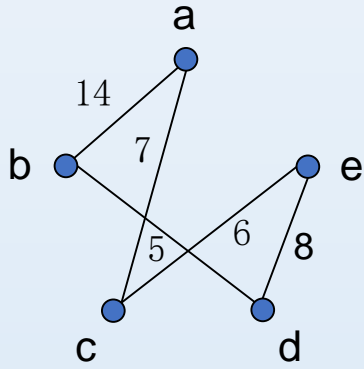
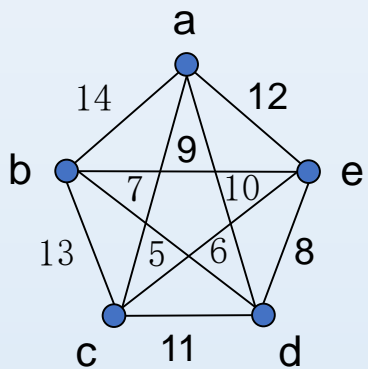
**推论3：** 图 $G=(V,E)$ ， $\#V\geq 3$ ，若对于任意不相邻结点 $u$ 和 $v$ ，均有

$$\deg(u)+\deg(v)\geq n$$

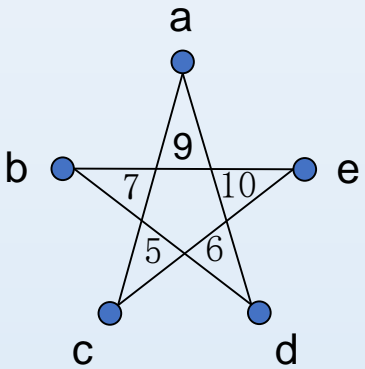
则 $G$ 是哈密顿图。

**流动售货员问题：**找一条最短道路，走遍公司附近所有城镇，返回公司。假定任意两城镇之间有路相通，则问题为在加权完全图中找权最小的哈密顿环。

**最近邻算法：**在没有经过的城镇中找最邻近的作为下一个要经过的城市。



$$14+5+8+6+7=40$$



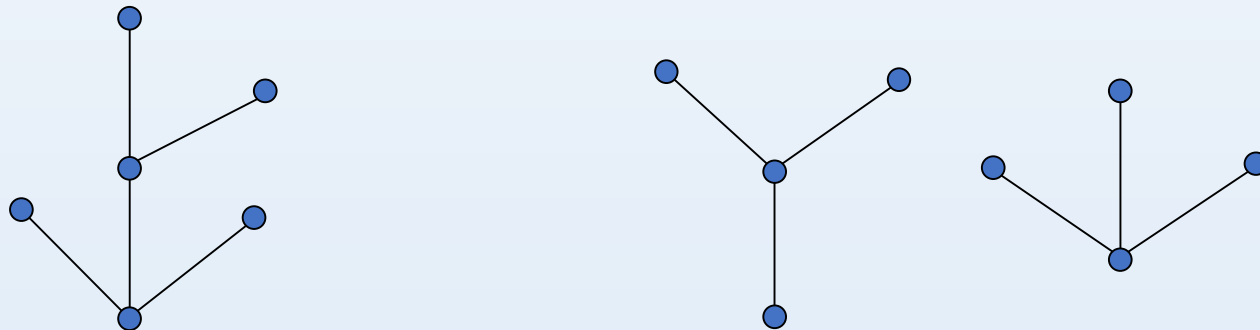
$$7+6+9+5+10=37$$

最近邻算法给出的哈密顿环不一定是最短的，但它的运算量较小。

## 8.5 树

**定义8-21 树：**不含回路的连通图 ( $n, m$ )。要点：不含回路，连通。

**树林：**不含回路的图。 要点：不含回路。



**树叶：**度为1的结点。

**枝点：**度大于1的结点。

**边和点的关系：**  $m=n-1$ 。

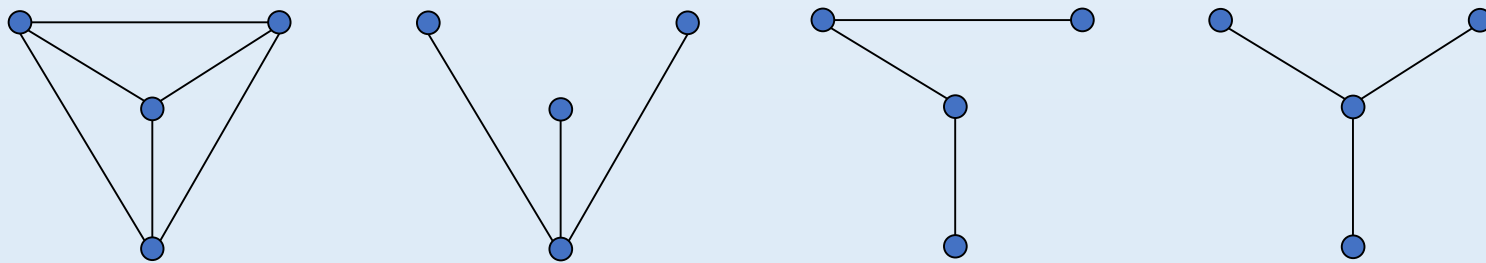
### 树的等价定义（性质）：

- (1) **定理8-13：** 任意两点间有唯一一条真路相连的图。
- (2)  $m=n-1$ 的连通图。
- (3) **定理8-14：**  $m=n-1$ 、且无环的图。
- (4) 图连通，但删除任意一条边，图不连通。
- (5) 图中无回路，但在任意不相邻结点间增加一条边，产生回路。

**生成树：** 若连通图 $G=(V,E)$ 的生成子图 $T_G$ 是树，则 $T_G$ 称为生成树。

**枝：** 生成树 $T_G$ 中的边。

**弦：** 图 $G$ 中不在 $T_G$ 中的边。



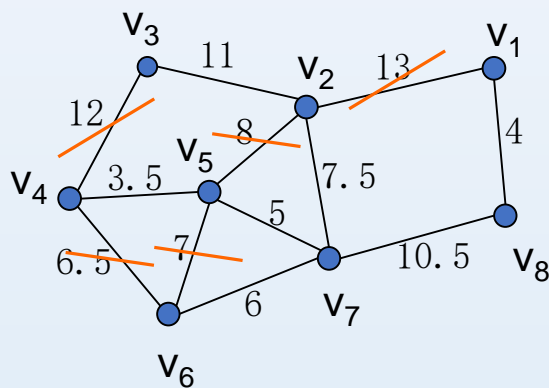
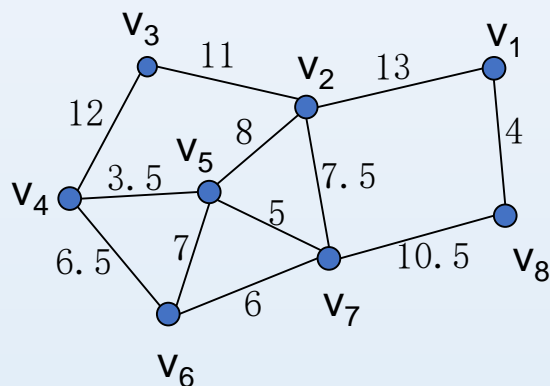
一个连通图的生成树可能有多棵。

**最小生成树**：加权连通图的所有生成树中，权最小的。

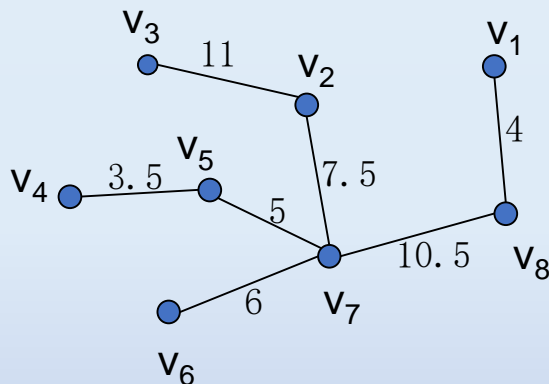
城市的煤气管网，自来水管网等。

### 最小生成树的求法（算法8-3）

(1) 将边按权从大到小逐次删除，每删除一条边，判断一下图是否连通，若连通则删去，若不连通则保留。



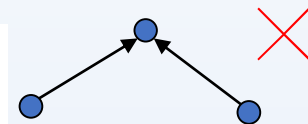
(2) 将边按权从小到大排列，然后逐次选取，增加到图中。若增加后，图产生回路则不选取。





## 8.6 有向树

**定义8-22 有向树：**若有向图对应的无向图为树，且只有一个结点的进度为0，其余结点的进度为1，称为有向树。

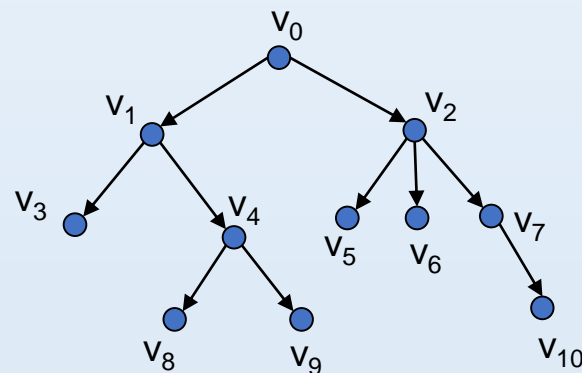
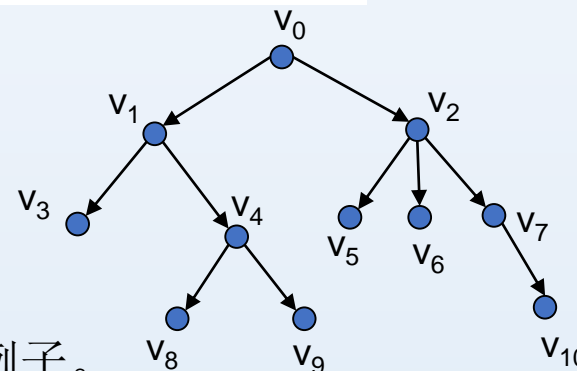


**根：**有向树中进度为0的结点称为根。

**叶：**有向树中出度为0的结点称为叶。

**枝点：**除叶以外的所有结点。

家谱、目录、通信的前缀码、计算机网的树形结构都是有向树的例子。

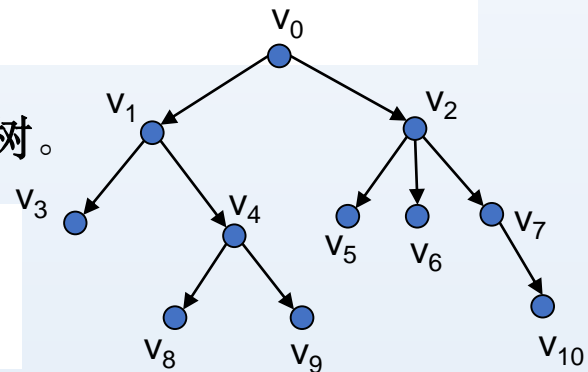


$v_0$  树根， $v_1, v_2$  称**一级结点**， $v_3, v_4, v_5, v_6, v_7$  称**二级结点**， $v_8, v_9, v_{10}$  称**三级结点**。

父亲结点，儿子结点，孙子结点，兄弟，祖先，后裔。

**子树**：有向树 $T$ 的枝点 $v$ 和它的所有后裔构成的结点集 $V'$ ，和 $v$ 以下的所有边集 $E'$ 构成的子图 $T'=(V', E')$ ，称为以 $v$ 为根的子树。

右图 $v_0$ 有两棵子树，以 $v_1$ 为根的左子树和以 $v_2$ 为根的右子树。



**定义8-23 m元树**：每一个结点的出度都小于或等于 $m$ 的树。

**完全m元树**：每一个枝点的出度都等于 $m$ 的树。

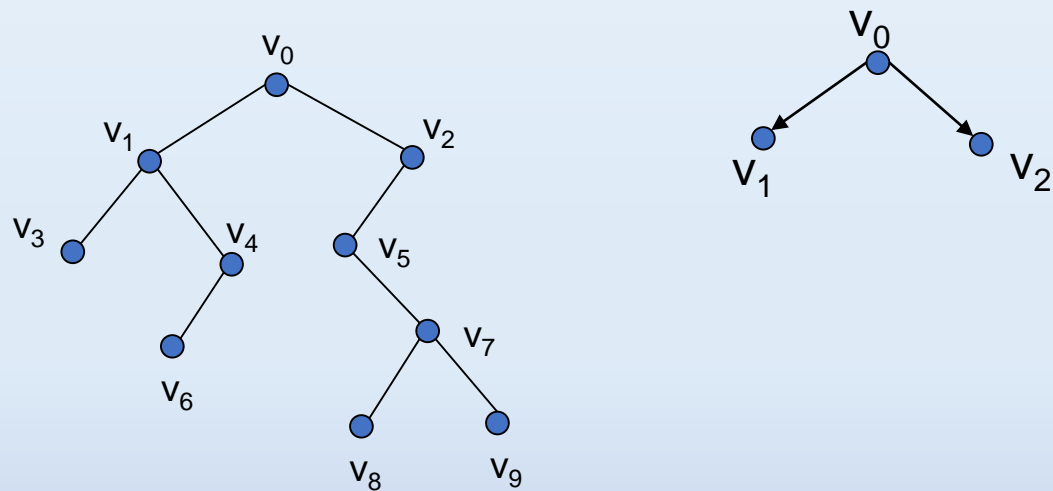
**二元搜索树**：通过二元树的每一个结点，且只通过一次。例如搜索目录。

- (1) 先根通过：根 $\rightarrow$ 左子树 $\rightarrow$ 右子树
- (2) 中根通过：左子树 $\rightarrow$ 根 $\rightarrow$ 右子树
- (3) 后根通过：左子树 $\rightarrow$ 右子树 $\rightarrow$ 根

先根： $v_0v_1v_3v_4v_6v_2v_5v_7v_8v_9$

中跟： $v_3v_1v_6v_4v_0v_5v_8v_7v_9v_2$

后跟： $v_3v_6v_4v_1v_8v_9v_7v_5v_2v_0$

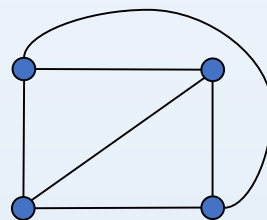
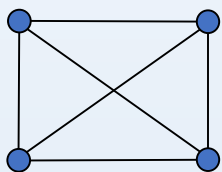


## 8.8 平面图

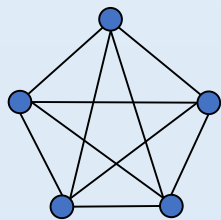
### 平面图

定义**8-28** **平面图**：能画在一个平面上，而边无任何交叉的图。

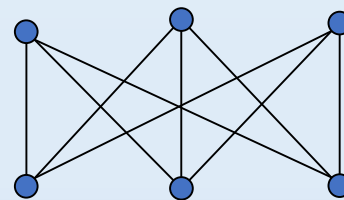
例 印刷电路、四结点完全图是平面图。



五结点完全图、三管道图是典型的非平面图。



五结点完全图



三管道图

定理8-26 欧拉定理：若G是一连通的平面图，则

$$n - m + k = 2$$

$n, m, k$ 分别是结点数、边数、面数。

欧拉定理反映了结点数、边数和面数之间的关系。

推论 定理8-27 在有两条或更多条边的平面图中，有

$$m \leq 3n - 6$$

证明：  $m=2$  时，  $n=3$ ， 不等式成立。

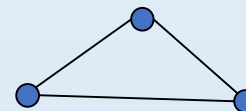
$m \geq 3$  时， 因每个面至少有3条边围成，而每条边属于相邻的两个面，所以

$$m/3 \geq k/2 \quad \rightarrow \quad 2m \geq 3k$$

有欧拉公式可得  $k = 2 - n + m$

代入不等式  $2m \geq 6 - 3n + 3m$

移项得  $m \leq 3n - 6$



若每个面至少有 $l$ 条边围成，则

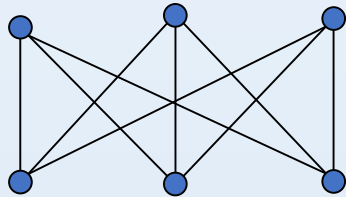
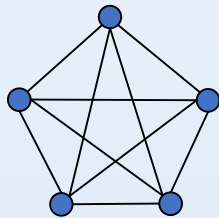
$$2m \geq lk$$

由欧拉公式得  $2m \geq l(2-n+m) = l(2-n) + lm$

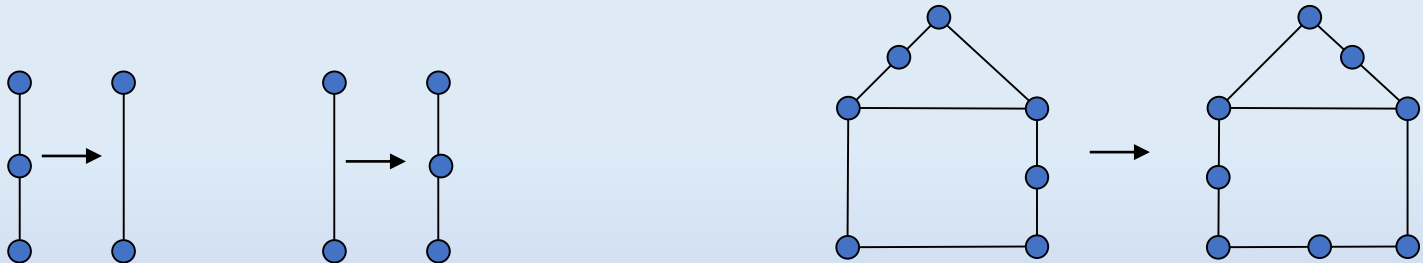
$$l(n-2) \geq (l-2)m$$

$$m \leq l(n-2)/(l-2)$$

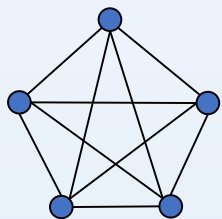
欧拉定理和推论都是**必要条件**，可用于判定一个图是**非平面图**。例如五结点完全图（ $n=5, m=10, 10 \leq 3*5-6=9$   $\times$ ）和三管道图（ $n=6, m=9, l=4; 9 \leq 4(6-2)/(4-2)=8$   $\times$ ）。



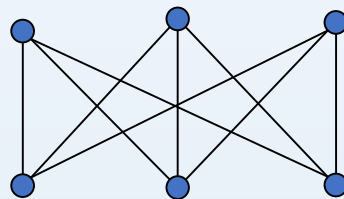
在度2结点内同构：插入或删除度为2的结点，两图能成为同构的图。



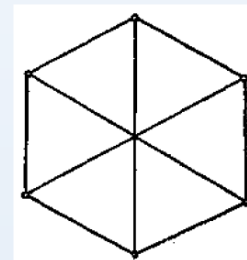
**定理8-28 库氏定理：**一个图是平面图的充分必要条件是**没有**在度2结点内与库氏图同构的子图。库氏图是五结点完全图和三管道图。



五结点完全图

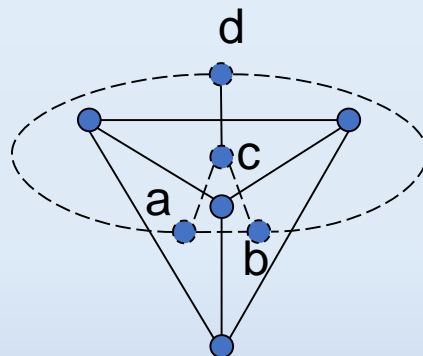


三管道图



=====

**对偶图：**平面的面作为点，相邻两个面用横跨边界的边连接起来，得到图称**对偶图**。可将面的染色问题转化为结点的染色问题。四色问题。



构成一单个环的图称为**封闭折线**。一**封闭折线图**是一平面图，可归纳地定义如下：

〈基础〉一封闭折线是一封闭折线图。

〈归纳步〉设  $G = (V, E)$  是一封闭折线图，又设  $\alpha = v_i v_{i_1} v_{i_2} \dots v_{i_{l-1}} v_j$  为不与  $G$  交叉的任一真路（长  $l \geq 1$ ），其中  $v_i, v_j \in V$ ，但  $v_r \notin V (r = 1, 2, \dots, l-1)$ ，那么由  $G$  和  $\alpha$  组成的图，即图  $(\bar{V}, \bar{E})$ ，其中

$$\bar{V} = V \cup \{v_{i_1}, v_{i_2}, \dots, v_{i_{l-1}}\},$$

$$\bar{E} = E \cup \{\{v_i, v_{i_1}\}, \{v_{i_1}, v_{i_2}\}, \dots, \{v_{i_{l-1}}, v_j\}\},$$

也是一封闭折线图。

由封闭折线图的定义可知，它是一平面图（可能为多重图，因为长为2的环是允许的）。图8-47是一封闭折线图的例。

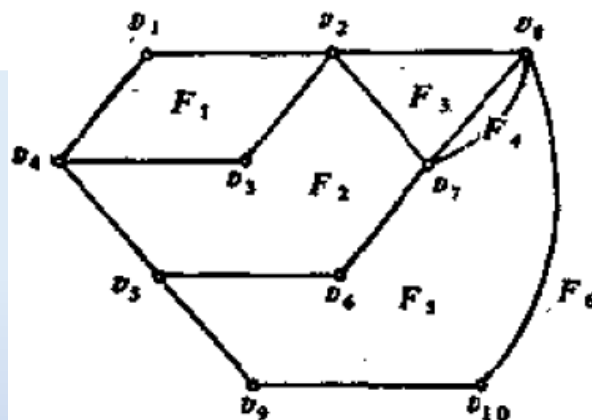


图8-47

与封闭折线图有关的一著名问题是“4 色猜想”问题，即每一封闭折线图能用 4 种不同的颜色来着色，使任何两个相邻的面（包括无限面）具有不同的颜色。这个问题提出于上一世纪中期，经过许多数学家的努力，终于在 1976 年为爱普尔 (K. I. Appel)，黑肯 (W. Haken) 和考西 (J. Koch) 利用电子计算机的帮助得到了证明。在探求这一问题证明的漫长过程中，获得了图论和有关领域中许多重要的成果。



# 作业

4, 6, 15, 16, 19, 31, 33, 37, 45

# 内容提要

## 1. 图的基本概念

- 图、 $n$  阶图、 $(n, m)$  图、无向图、有向图、伪图、多重图、简单图；
- 边关联结点、结点关联边、结点的邻接、边的邻接、孤立点、孤立边；
- 完全图、补图、结点的度数、正则图；
- 子图、真子图、生成子图、图的同构.

### 3. 路

- 开路、回路、真路、环路、链、闭链；
- 结点间的连接、连通图、连通子图、分图；
- 短程、距离( $n$  阶图中,  $d(v_i, v_j) \leq (n-1)$ )；
- ~~• 有向图的弱连通、单向连通、强连通.~~

### 4. 图的矩阵表示

- 邻接矩阵  $A$ ；
- 连接矩阵  $C$ .

### 6. 欧拉图和哈密顿图

- 欧拉图、欧拉回路、欧拉路；
- 欧拉定理；
- 哈密顿环、哈密顿图、哈密顿路、闭图、闭包；
- 哈密顿图的判定条件、最邻接方法.

## 7. 树

- 树、树林、树叶；
- 树的性质及判定条件；
- 生成树、最小生成树.

## 8. 有向树

- 根、分支结点、叶结点、级、子树；
- $m$  元树、完全  $m$  元树、二元树、完全二元树；
- 树的扫描.

# 例题讲解

例 8-1 设  $G=(V,E)$  是一无向图,  $V=\{v_1, v_2, \dots, v_8\}$ ,  $E=\{\{v_1, v_2\}, \{v_2, v_3\}, \{v_3, v_1\}, \{v_1, v_5\}, \{v_5, v_4\}, \{v_4, v_3\}, \{v_7, v_8\}\}$ .

- (1) 画出  $G$  的图解;
- (2) 指出与  $v_3$  邻接的结点, 以及和  $V_3$  关联的边;
- (3) 指出与  $e_1$  邻接的边 和与  $e_1$  关联的结点;
- (4) 该图是否有 孤立结点 和孤立边?
- (5) 求出各结点的 度数, 并判断是否是 完全图 和 正则图;
- (6) 该  $(n,m)$  图中,  $n=?$ ,  $m=?$

解 (1) 所给图  $G$  的一个图解如图 8-1 所示.

(2)  $v_1, v_2, v_4$  均与  $v_3$  邻接,  $v_3$  关联边  $e_1, e_2, e_3$ .

(3) 边  $e_2, e_3, e_4$  均与  $e_1$  邻接,  $e_1$  关联结点  $v_2, v_3$ .

(4)  $v_6$  是孤立结点,  $e_5$  是孤立边.

(5)  $\deg(v_1) = 3, \deg(v_2) = 2, \deg(v_3) = 3, \deg(v_4) = 2, \deg(v_5) = 2, \deg(v_6) = 0, \deg(v_7) = 1, \deg(v_8) = 1$ .

因为不是所有结点的度数均相等, 故不是正则图, 又  $v_6$  不与任何结点邻接, 因此  $G$  也不是完全图.

(6)  $G$  是  $(8, 7)$  图或 8 阶图,  $n = 8$  个结点,  $m = 7$  条边.

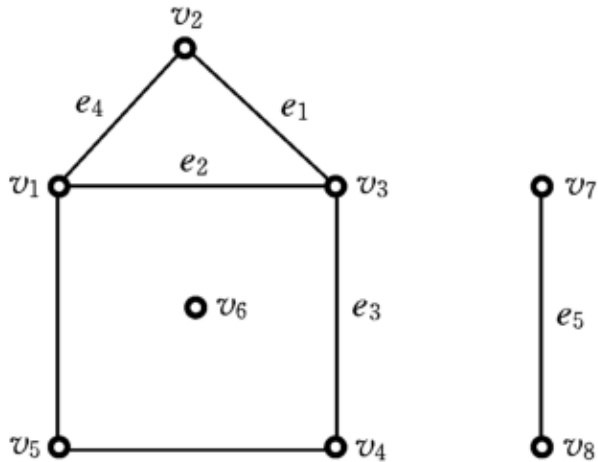
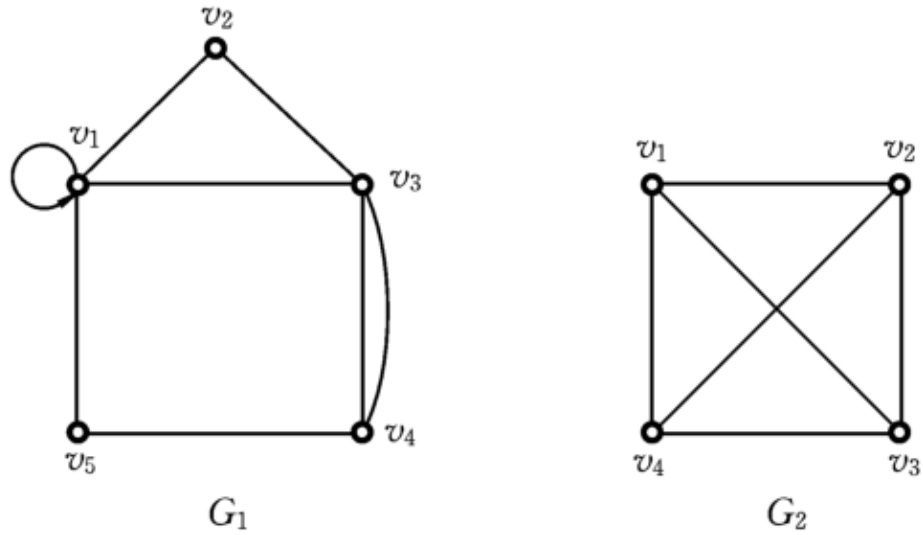


图 8-1

浙江大学信息学院信电系电子信息技术与系统研究所宋牟平

**例 8-2** 图 8-2 给出了无向图  $G_1 = (V_1, E_1)$  和  $G_2 = (V_2, E_2)$ , 它们各是什么类型的图, 求出  $G_1$  的最大度数  $\Delta(G_1)$  和最小度数  $\delta(G_1)$ , 并指出  $G_1$  中重数大于 1 的边.



**解**  $G_1$  是一个伪图, 有自环  $\{v_1, v_1\}$  和平行边  $\{v_3, v_4\}, \{v_3, v_4\}$ .  $G_2$  是一个简单图, 且  $G_2$  中任意两个结点均邻接, 故是完全图, 又每个结点的度数为 3, 因此  $G_2$  是 3 次正则图.

$G_1$  中关联于  $v_1$  的结点的边有一个是自环, 在计算  $v_1$  的度数时, 此边使  $v_1$  的度增加 2, 于是  $\deg(v_1) = 5$ , 因此  $\Delta(G_1) = \max\{\deg(v) \mid v \in V_1\} = 5, \delta(G_1) = \min\{\deg(v) \mid v \in V_1\} = 2$ .

$G_1$  中结点  $v_3$  与  $v_4$  间有两条平行边, 边的重数为 2.

例 8-3 求图  $G$ (见图 8-3)的补图  $\bar{G}$ .

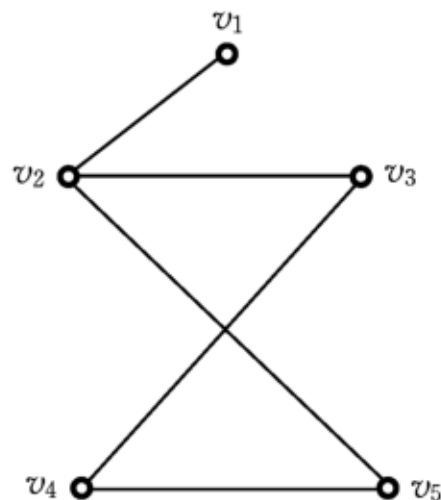


图 8-3

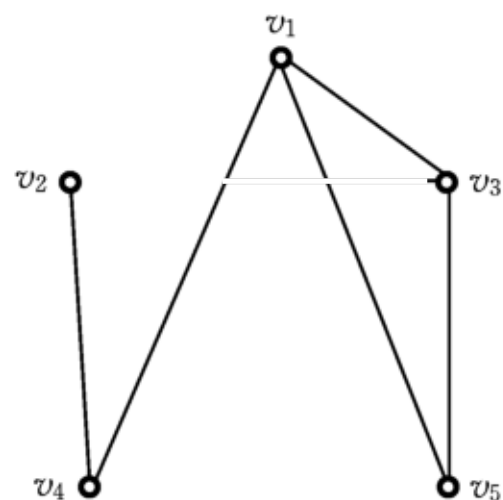
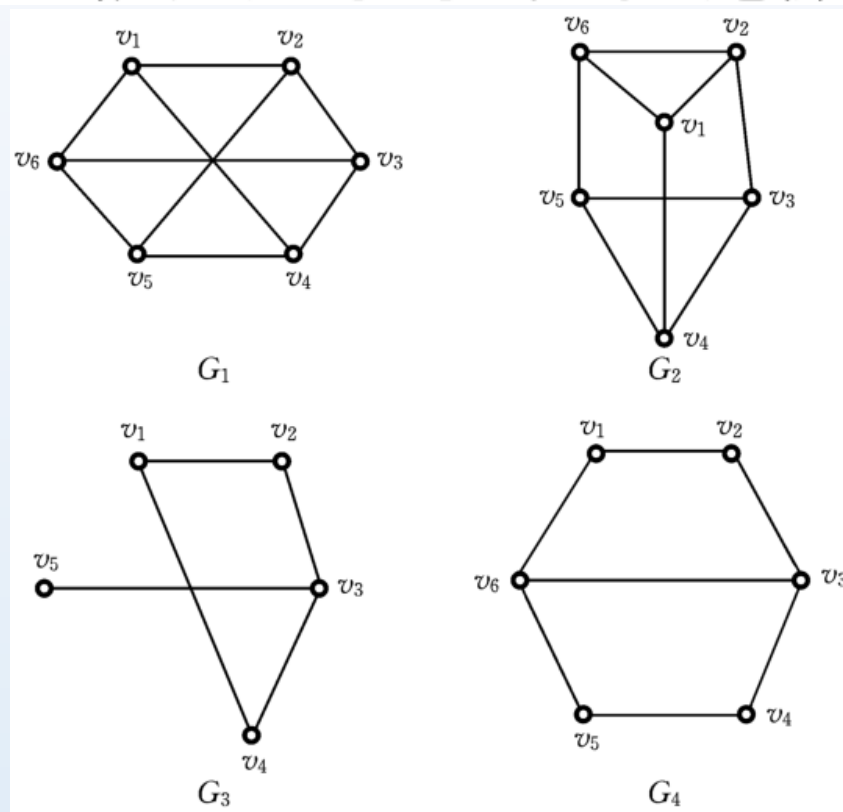


图 8-4

解  $G$  的补图  $\bar{G}$ ,是由  $G$  的所有结点和为了使  $G$  成为完全图所需要添加那些边组成的图,如图 8-4 所示.



例 8-4 图 8-5 给出了图  $G_1, G_2, G_3, G_4$ , 问它们之间有何关系?



解  $G_1 = (V_1, E_1)$  是一个 3 次正则图; 因为  $V_3 \subseteq V_1$  且  $E_3 \subset E_1$ , 所以  $G_3 = (V_3, E_3)$  是  $G_1$  的一个真子图;

又因为  $V_4 = V_1$  且  $E_4 \subseteq E_1$ , 所以  $G_4 = (V_4, E_4)$  是  $G_1$  的一个生成子图.

设  $G_2 = (V_2, E_2)$ , 因为  $\{v_3, v_5\} \in E_2$ , 但  $\{v_3, v_5\} \notin E_1$ , 所以  $E_2 \not\subseteq E_1$ .

另一方面  $\{v_3, v_6\} \in E_1$ , 但  $\{v_3, v_4\} \notin E_2$ , 故  $E_1 \not\subseteq E_2$ . 因此  $G_2$  不是  $G_1$  的子图,  $G_1$  也不是  $G_2$  的子图, 同理,  $G_3, G_4$  与  $G_2$  也没有子图关系.

浙江大学 信息学院 信电系 电子信息技术与系统研究所 宋牟平

**例 8-5** 设  $G$  是具有 3 个结点的完全图, 试问:

(1)  $G$  有多少个子图?

(2)  $G$  有多少个生成子图?

(3) 如果没有任何两个子图是同构的, 则  $G$  的子图个数是多少? 将这些构造出来.

**解** (1) 因含有一个结点的子图有  $C_3^1 = 3$  个;

含二个结点的子图有  $C_3^2 \times 2 = 6$ ;

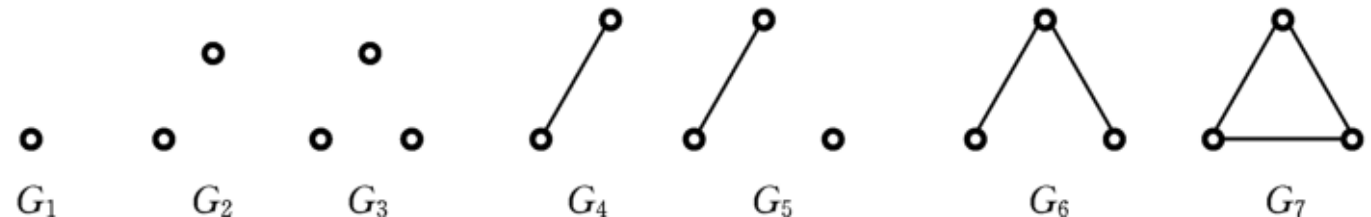
含三个结点的子图有  $C_3^3 \times 2^3 = 8$ ;

所以  $G$  共有  $3 + 6 + 8 = 17$  个子图.

(2)  $G$  的生成子图, 含  $G$  的全部结点, 因为  $G$  有三条边, 构成子图时, 每条边有被选和不选两种情况.

所以  $G$  的生成子图的个数为  $2^3 = 8$ .

(3)  $G$  的所有不同构的子图如图 8-6 所示.



例 8-9 给定图  $G=(V,E)$ , 如图 8-8 所示.

- (1) 在  $G$  中找一条长为 7 的开路且不是真路;
- (2) 在  $G$  中找一条长为 6 的回路且不是环路;
- (3) 在  $G$  中找一条长为 7 的真路;
- (4) 在  $G$  中找一个长为 5 的环路;
- ~~(5) 在  $G$  中找一条长为 5 的链, 且不是真路;~~
- ~~(6) 在  $G$  中找一个长为 6 的闭链, 且不是环路;~~
- (7) 求出  $v_2$  与  $v_3$  的距离  $d(v_2, v_3)$ .

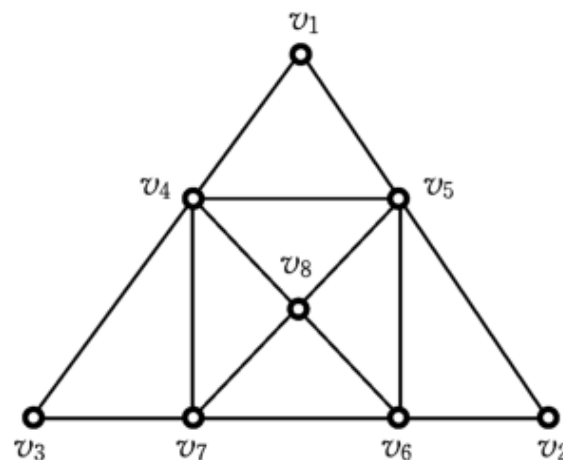


图 8-8

解 (1)  $L_1: v_4 v_3 v_7 v_4 v_1 v_5 v_6 v_8$  (因  $v_4$  出现两次, 故不是真路);

(2)  $L_2: v_4 v_5 v_2 v_6 v_5 v_8 v_4$  (因为  $v_5$  出现两次, 所以不是环路);

(3)  $L_3: v_1 v_5 v_2 v_6 v_8 v_4 v_3 v_7$ ;

(4)  $L_4: v_4 v_5 v_6 v_8 v_7 v_4$ ;

(5)  $L_5: v_4 v_3 v_7 v_4 v_1 v_5$  (因  $v_4$  出现两次, 故不是真路, 但边未重复, 故是链);

(6)  $L_6: v_4 v_5 v_2 v_6 v_5 v_8 v_4$  (因  $v_5$  出现两次, 故不是环路);

(7)  $v_2$  到  $v_3$  的路很多, 其中长度最短的真路称为  $v_2$  到  $v_3$  的短程  $L$ , 其长度称为  $v_2$  到  $v_3$  的距离. 如  $L_7: v_2 v_5 v_4 v_3$ ,  $L_8: v_2 v_6 v_7 v_3$  均是  $v_2$  到  $v_3$  的短程,  $d(v_2, v_3)=3$ .

注 两个结点间的短程不唯一, 但距离唯一.

例 8-10 给定图  $G=(V,E)$  (见图 8-9), 问  $H_1=(V_1,E_1)$ ,  $H_2=(V_2,E_2)$ ,  $H_3=(V_3,E_3)$  是否是  $G$  的分图? 其中

$$V_1 = \{v_1, v_2, v_3, v_6\};$$

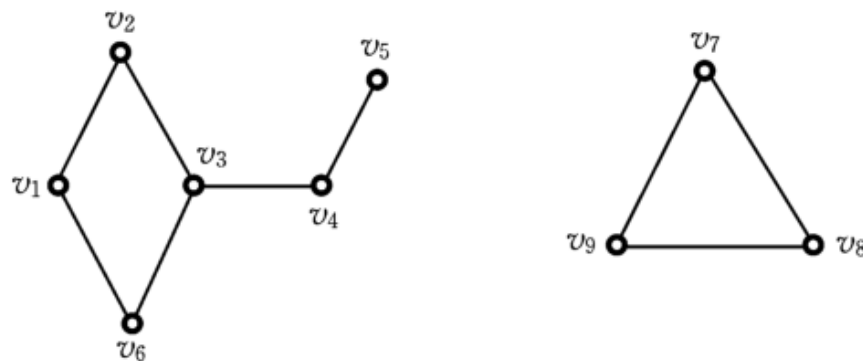
$$E_1 = \{\{v_1, v_2\}, \{v_2, v_3\}, \{v_3, v_6\}, \{v_6, v_1\}\};$$

$$V_2 = \{v_1, v_2, v_3, v_4, v_5, v_6, v_7, v_8\};$$

$$E_2 = \{\{v_1, v_2\}, \{v_2, v_3\}, \{v_3, v_6\}, \{v_6, v_1\}, \{v_3, v_4\}, \{v_4, v_5\}, \{v_7, v_8\}\};$$

$$V_3 = \{v_1, v_2, v_3, v_4, v_5, v_6\};$$

$$E_3 = \{\{v_1, v_2\}, \{v_2, v_3\}, \{v_3, v_6\}, \{v_6, v_1\}, \{v_3, v_4\}, \{v_4, v_5\}\}.$$



解  $H_1$  是  $G$  的连通子图, 但  $H'_1=(V'_1,E'_1)$  包含  $H_1$  且也是  $G$  的连通子图. 所以  $H_1$  不是  $G$  的极大连通子图, 故  $H_1$  不是  $G$  的分图. 其中  $V'_1 = \{v_1, v_2, v_3, v_4, v_6\}$ ,  $E'_1 = E_1 \cup \{v_3, v_4\}$ .

$H_2$  是  $G$  的子图, 但不是连通子图, 故不是  $G$  的分图.

$H_3$  是  $G$  的极大连通子图, 因为  $G$  中包含  $H_3$  的其他任何子图都将包含  $v_7, v_8, v_9$  中一个结点, 这样这个包含  $H_3$  的子图必将不连通. 所以  $H_3$  是  $G$  的分图.

例 8-14 图  $G$  由邻接矩阵  $\mathbf{A} = \begin{bmatrix} 0 & 1 & 1 & 0 & 0 \\ 1 & 0 & 1 & 0 & 0 \\ 1 & 1 & 0 & 0 & 0 \\ 0 & 0 & 0 & 0 & 1 \\ 0 & 0 & 0 & 1 & 0 \end{bmatrix}$  给出,  $G$  是否连通?

解法一 直接由邻接矩阵给出  $G$  的一个图解, 如图 8-13 所示, 显然,  $G$  不连通.

解法二 求  $G$  的连接矩阵

$$\begin{aligned} \mathbf{C} &= \mathbf{A} [ + ] \mathbf{A}^{(2)} [ + ] \mathbf{A}^{(3)} [ + ] \mathbf{A}^{(4)} [ + ] \mathbf{A}^{(5)} \\ &= \begin{bmatrix} 0 & 1 & 1 & 0 & 0 \\ 1 & 0 & 1 & 0 & 0 \\ 1 & 1 & 0 & 0 & 0 \\ 0 & 0 & 0 & 0 & 1 \\ 0 & 0 & 0 & 1 & 0 \end{bmatrix} [ + ] \begin{bmatrix} 1 & 1 & 1 & 0 & 0 \\ 1 & 1 & 0 & 0 & 0 \\ 1 & 1 & 1 & 0 & 0 \\ 0 & 0 & 0 & 1 & 0 \\ 0 & 0 & 0 & 0 & 1 \end{bmatrix} \end{aligned}$$

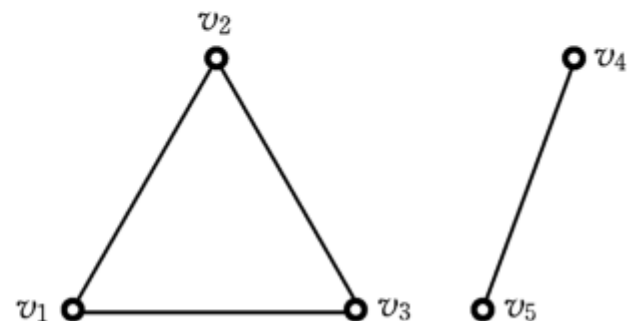


图 8-13

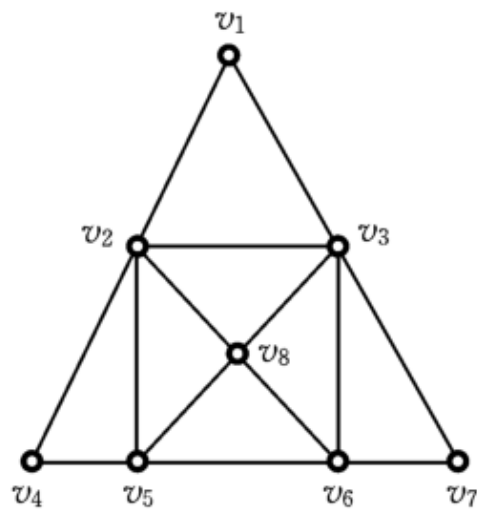
$$\begin{aligned}
 & \begin{bmatrix} 1 & 1 & 1 & 0 & 0 \\ 1 & 1 & 1 & 0 & 0 \\ 1 & 1 & 1 & 0 & 0 \\ 0 & 0 & 0 & 0 & 1 \\ 0 & 0 & 0 & 1 & 0 \end{bmatrix} \xrightarrow{[+]} \begin{bmatrix} 1 & 1 & 1 & 0 & 0 \\ 1 & 1 & 1 & 0 & 0 \\ 1 & 1 & 1 & 0 & 0 \\ 0 & 0 & 0 & 1 & 0 \\ 0 & 0 & 0 & 0 & 1 \end{bmatrix} \xrightarrow{[+]} \begin{bmatrix} 1 & 1 & 1 & 0 & 0 \\ 1 & 1 & 1 & 0 & 0 \\ 1 & 1 & 1 & 0 & 0 \\ 0 & 0 & 0 & 0 & 1 \\ 0 & 0 & 0 & 1 & 0 \end{bmatrix} \\
 & = \begin{bmatrix} 1 & 1 & 1 & 0 & 0 \\ 1 & 1 & 1 & 0 & 0 \\ 1 & 1 & 1 & 0 & 0 \\ 0 & 0 & 0 & 1 & 1 \\ 0 & 0 & 0 & 1 & 1 \end{bmatrix}.
 \end{aligned}$$

因为  $C$  中含有 0 元素, 所以  $G$  不连通.

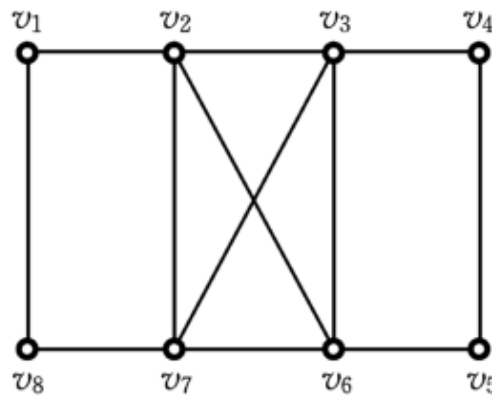
**例 8-21** 确定  $n$  取怎样的值,  $n$  阶完全图  $K_n$  为欧拉图.

**解**  $n$  阶完全图  $K_n$  有  $n$  个结点, 每个结点的度数为  $n-1$ , 故当  $n$  为奇数,  $n-1$  为偶数时,  $K_n$  是一欧拉图.

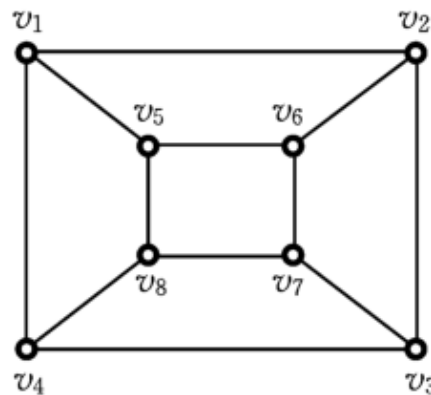
**例 8-23** 图 8-18 给出了三个图,试判定哪个是欧拉图,哪个是哈密顿图,哪个图有欧拉路.



$G_1$



$G_2$



$G_3$

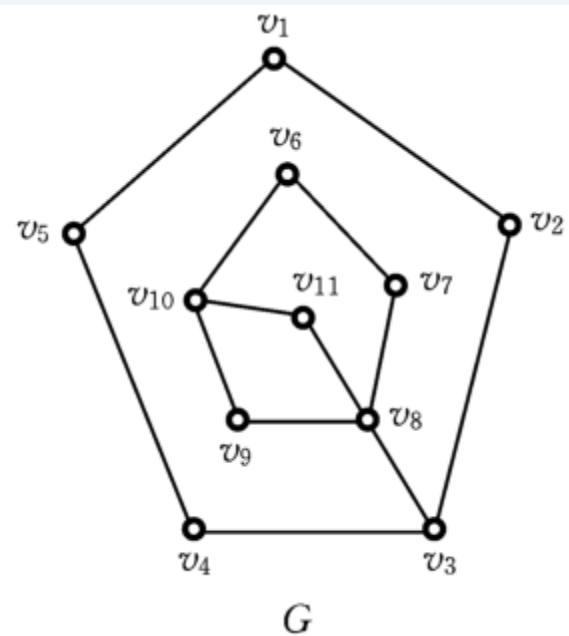


解 (1)  $G_1$  中除  $v_2, v_3$  度数为奇数外, 其余结点均是偶数. 故  $G_1$  中有欧拉路  
 $v_2 v_1 v_3 v_2 v_4 v_5 v_8 v_2 v_5 v_6 v_8 v_3 v_6 v_7 v_3$ , 又  $v_1 v_3 v_7 v_6 v_8 v_5 v_4 v_2 v_1$  是  $G_1$  的哈密顿环, 所以  $G_1$  是  
哈密顿图.

(2)  $G_2$  中每个结点的度数为偶数, 故  $G_2$  是欧拉图, 其一个欧拉回路为  
 $v_1 v_2 v_7 v_3 v_2 v_6 v_3 v_4 v_5 v_6 v_7 v_8 v_1$  且  $v_1 v_2 v_3 v_4 v_5 v_6 v_7 v_8 v_1$  是  $G_2$  的一个哈密顿环, 所以  $G_2$   
 也是哈密顿图.

(3) 因为  $G_3$  中每个结点的度数均是奇数, 所以  $G_3$  既不是欧拉图, 也没有欧拉  
 路, 但  $G_3$  中有  $v_1 v_2 v_3 v_4 v_8 v_7 v_6 v_5 v_1$  哈密顿环, 因此  $G_3$  是哈密顿图.

例 8-24 判断图 8-19 是否为哈密顿图.



解 取  $S = \{v_8\}$ , 则  $\# S = 1$ , 有  $W(G - S) = 2 > \# S$ .

因此,  $G$  不是哈密顿图.

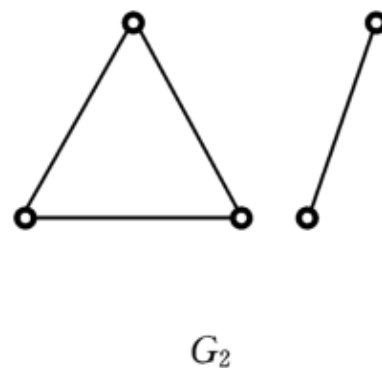
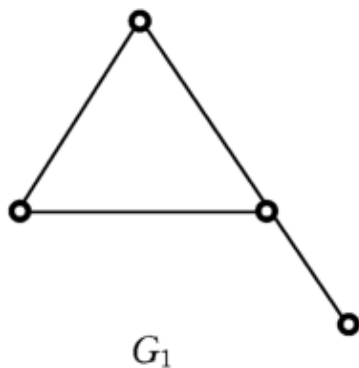
**例 8-26** 判定下面各类图是否为树.

- (1) 有  $n$  个结点、 $n-1$  条边的连通图；
- (2) 每对结点间都有路的图；
- (3) 有  $n$  个结点、 $n-1$  条边的图.

**解** (1) 由定理 8.14.1(1)知,此类图为树.

(2) 该类图不一定是树,其条件只能保证图是连通图.如图 8-22 中  $G_1$  满足条件,但不是树.

(3) 该类图不一定是树,条件只能保证  $m=n-1$ .如图 8-22 中, $G_2$  满足条件,但不是树,因为  $G_2$  不连通.



**例 8-28** 一棵树  $T$  有两个结点度数为 2, 一个结点度数为 3, 三个结点度数为 4, 问它有几个叶结点.

**解** 设  $T$  有  $n$  个结点,  $m$  条边,  $x$  个叶结点, 则  $n = 2 + 1 + 3 + x = 6 + x$ .

由定理 8.14.1 知  $m = n - 1 = 5 + x$ , 又由握手定理知

$$2m = 2 \times 2 + 3 \times 1 + 4 \times 3 + 1 \times x = 19 + x,$$

故  $2 \times (5 + x) = 19 + x$ , 即  $x = 9$ .

因此,  $T$  有 9 个叶结点.

浙江大学信息学院信电系电子信息技术与系统研究所宋牟平

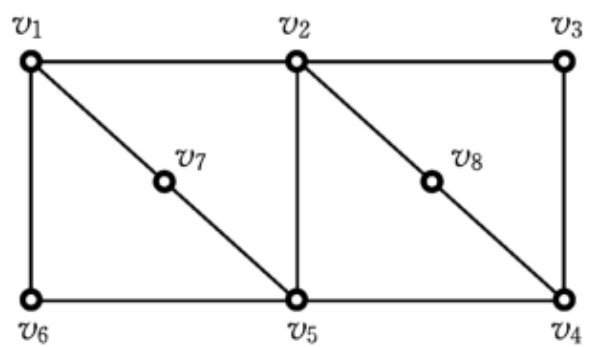


图 8-23

例 8-29 图 8-23 给出了一个连通图  $G$ , 求  $G$  的一棵生成树  $T_G$ , 并指出  $T_G$  的二条枝和二条弦.

解  $G_1 = G$  中有环  $\sigma_1 = v_1 v_2 v_5 v_7 v_1$ , 删去边  $\{v_1, v_2\}$  得  $G_2 = G_1 - \{v_1, v_2\}$ , 见图 8-24.

$G_2$  中有环  $\sigma_2 = v_2 v_3 v_4 v_8 v_2$ , 删去边  $\{v_2, v_3\}$  得  $G_3 = G_2 - \{v_2, v_3\}$ ;

$G_3$  中有环  $\sigma_3 = v_1 v_7 v_5 v_6 v_1$ , 删去边  $\{v_1, v_6\}$  得

$G_4 = G_3 - \{v_1, v_6\}$ ;

$G_4$  中有环  $\sigma_4 = v_2 v_8 v_4 v_5 v_2$ , 删去边  $\{v_4, v_5\}$  得  $G_5 = G_4 - \{v_4, v_5\}$ ,  $G_5$  无环, 故  $T_G = G_5$  是  $G$  的一棵生成树.  $\{v_1, v_7\} \{v_6, v_5\}$  是  $T_G$  的二条枝,  $\{v_1, v_2\}, \{v_2, v_3\}$  是  $T_G$  是二条弦.

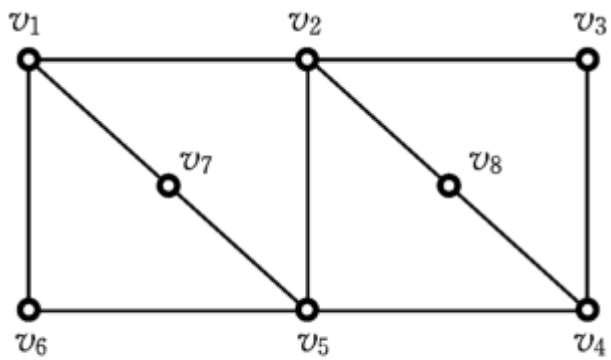
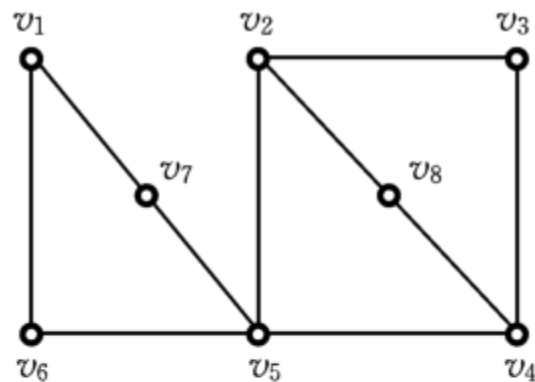
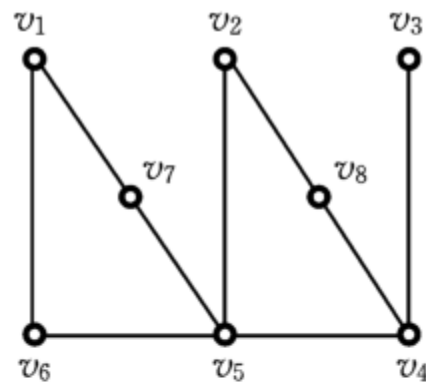


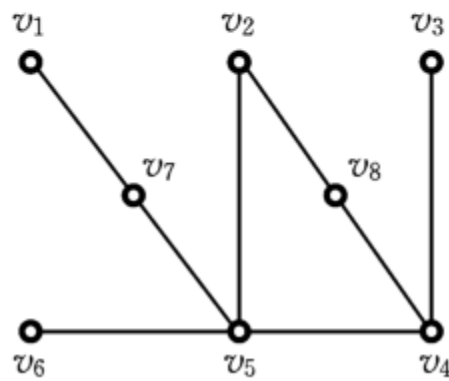
图 8-23



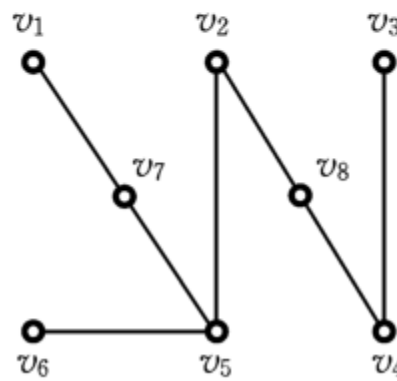
$G_2$



$G_3$



$G_4$



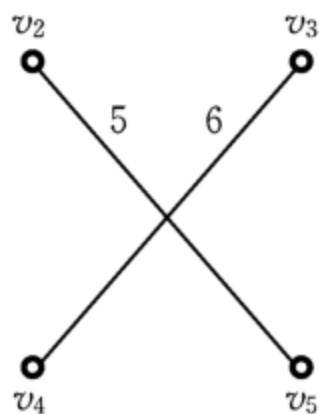
$G_5$

**例 8-30** 在图 8-25 所示的有权图  $G$  中,求一棵最小生成树  $T$ ,并计算其权.

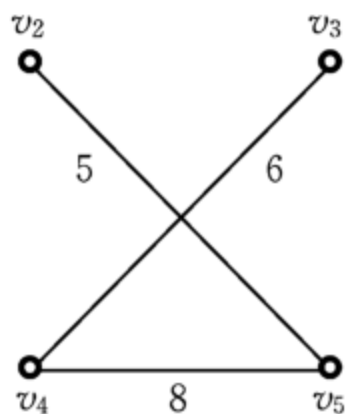
**解**  $f(a_1)=5, f(a_2)=6, f(a_3)=8, f(a_4)=8, f(a_5)=9, f(a_6)=10, f(a_7)=12, f(a_8)=14$ .

取  $e_1=a_1=\{v_2, v_5\}, e_2=a_2=\{v_3, v_4\}$ , 由于  $\{v_4, v_5\}=a_3$  与  $e_1, e_2$  不构成环路, 所以取  $e_3=\{v_4, v_5\}$ , 而  $a_4=\{v_2, v_4\}$  和  $a_5=\{v_2, v_3\}$  均与  $\{e_1, e_2, e_3\}$  构成环路, 故选  $e_4=a_6=\{v_1, v_5\}$  即  $T=\{e_1, e_2, e_3, e_4\}$ , 如图 8-26 所示.

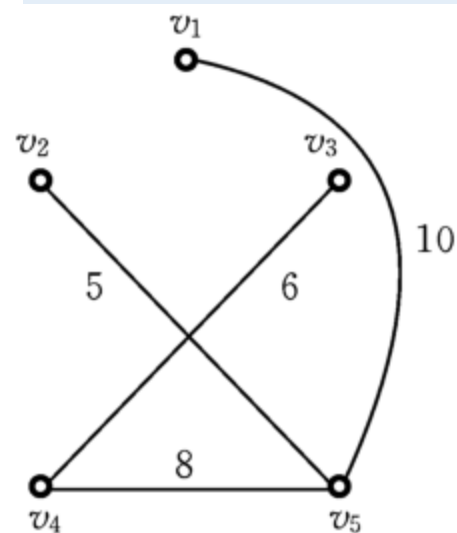
$$W(T)=5+6+8+10=29.$$



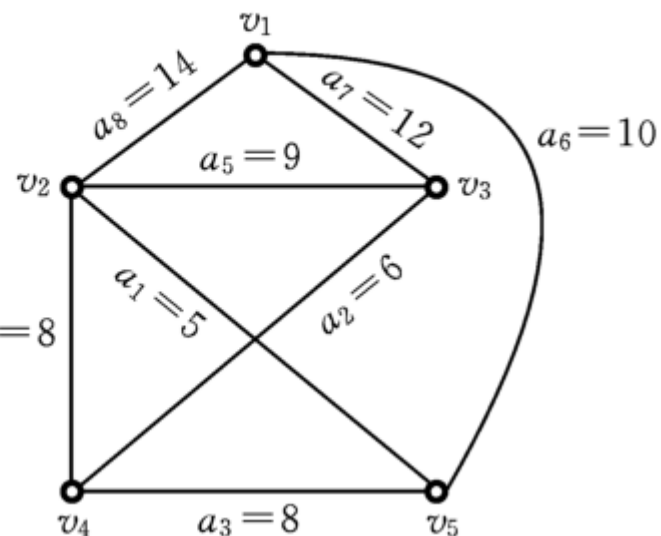
(a)



(b)



(c)



**定理 8.17.1** 设  $T$  是一棵  $(n, m)$  有向树, 则  $m = n - 1$ .

**例 8-31** 试证完全二元树有奇数个结点.

**证** 设  $T$  是一棵完全二元树,  $T$  为  $(n, m)$  图,  $T$  有  $n_0$  片树叶, 则  $T$  有  $n - n_0$  个分支结点. 于是  $m = 2(n - n_0)$ , 又  $m = n - 1$ , 所以  $n - 1 = 2n - 2n_0$ , 因此,  $n = 2n_0 - 1$  为奇数.



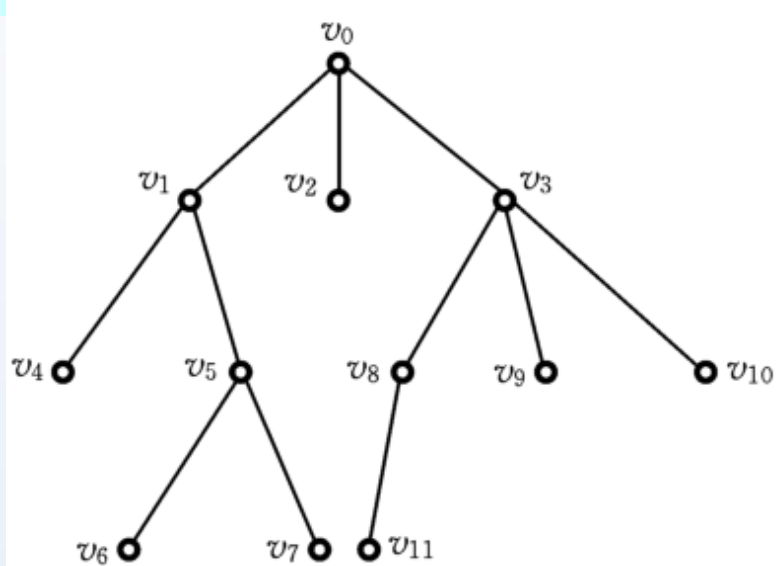
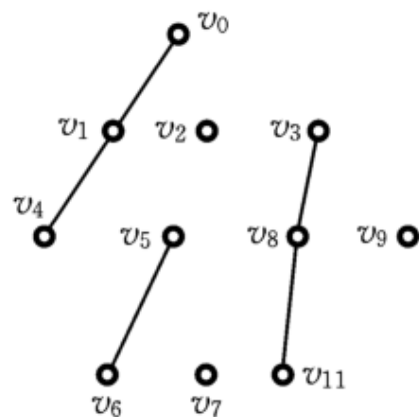


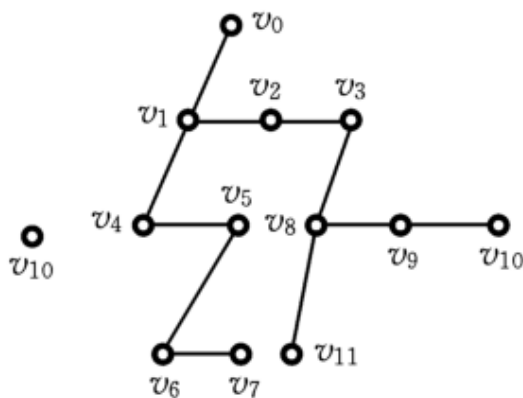
图 8-27

为它的左儿子,在该结点右边的为它的右儿子.

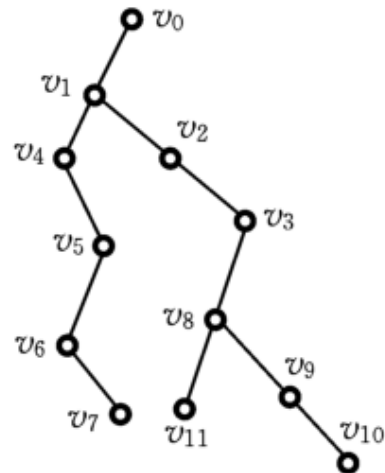
(4) 将结点的左儿子画在结点的左下方,右儿子画在结点的右下方,如图 8-28(3)所示.



(1)



(2)



(3)

**例 8-32** 将图 8-27 给出的三元树转化为二元树.

**解** (1) 对每一结点只保留它的最左分支,删去其余分支,如图 8-28(1)所示.

(2) 在同一级上的结点从左到右用边连接起来,如图 8-28(2)所示.

(3) 对任一结点选定在该结点下的结点

**例 8-33** 分别用先根通过、中根通过和后根通过的算法扫描图 8-28(3)所示的二元树  $T$  的所有结点.

**解** (1) 先根通过. 先访问根结点, 然后在根结点的左子树上执行先根通过算法(即在以根结点的左儿子为根的子树上执行该算法), 最后在根结点的右子树上执行先根通过算法.

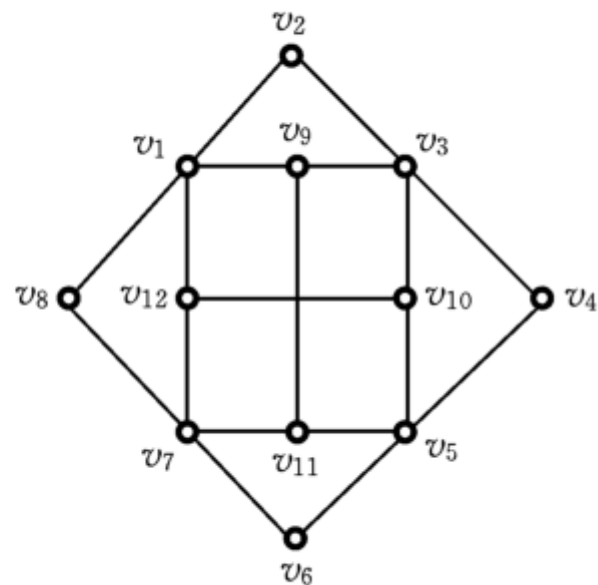
先根通过  $T$  扫描结果为  $v_0 v_1 v_4 v_5 v_6 v_7 v_2 v_3 v_8 v_{11} v_9 v_{10}$ .

(2) 中根通过. 先在根结点的左子树上执行中根通过算法, 然后访问根结点, 最后在根结点的右子树上执行中根通过算法.

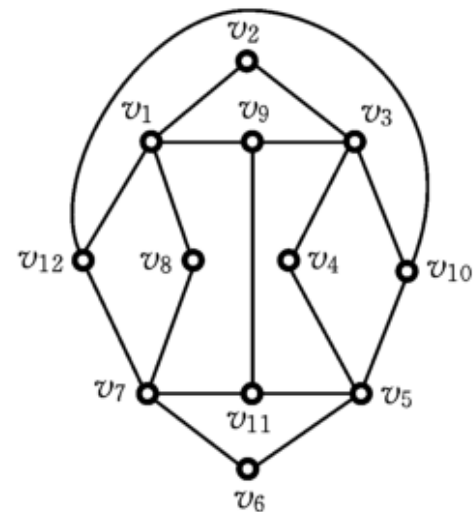
在  $v_0$  的左子树上执行中根通过,  $v_0$  的左子树以  $v_1$  为根, 由于  $v_1$  有左子树, 以  $v_4$  为根, 所以再在以  $v_4$  为根的子树上执行中根通过. 因为  $v_4$  无左子树, 故扫描  $v_4$ , 然后再在  $v_4$  的右子树, 即以  $v_5$  为根的子树上执行中根通过, 继续这一过程……最后扫描结果为  $v_4 v_6 v_7 v_5 v_1 v_2 v_{11} v_8 v_9 v_{10} v_3 v_0$ .

(3) 后根通过. 先在根的左子树上执行后根通过算法, 然后在根的右子树上执行后根通过算法, 最后访问根结点扫描结果为  $v_7 v_6 v_5 v_4 v_{11} v_{10} v_9 v_8 v_3 v_2 v_1 v_0$ .

浙江大学信息学院信电系电子信息技术与系统研究所宋牟平

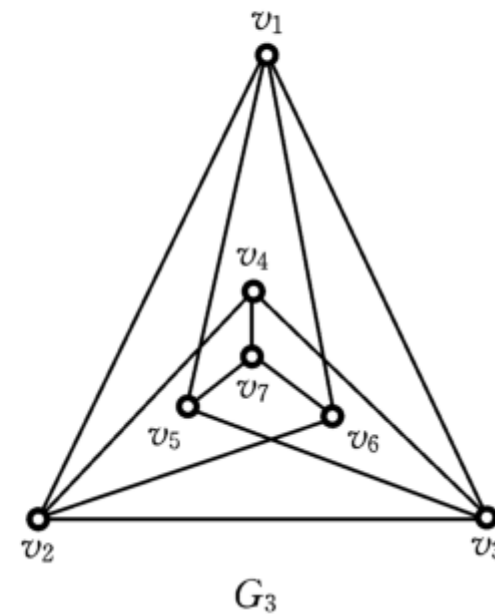
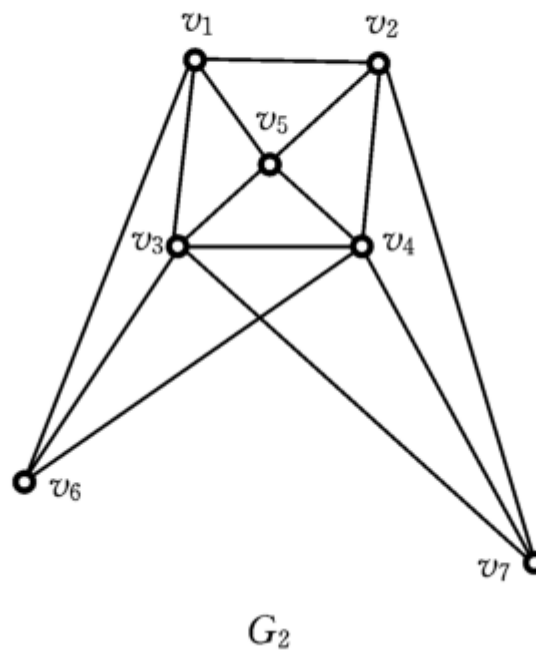
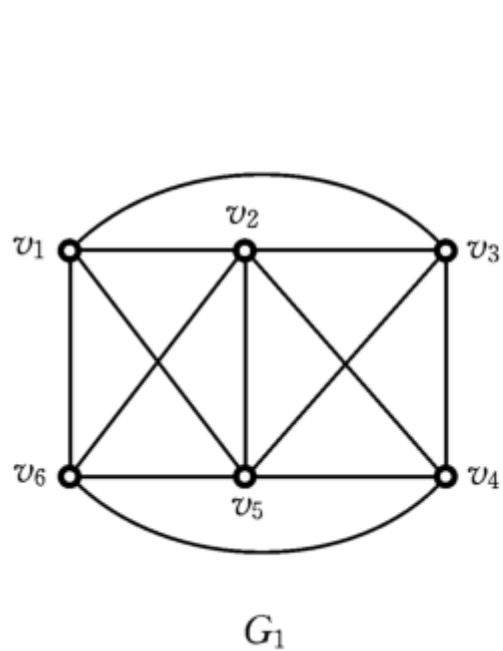
 $G_2$ 

10:49



(2)

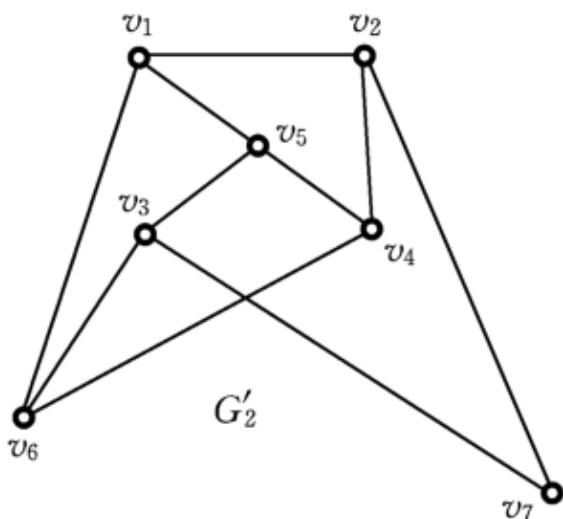
例 8-39 判定如图 8-36 所示的三个图是否为平面图.



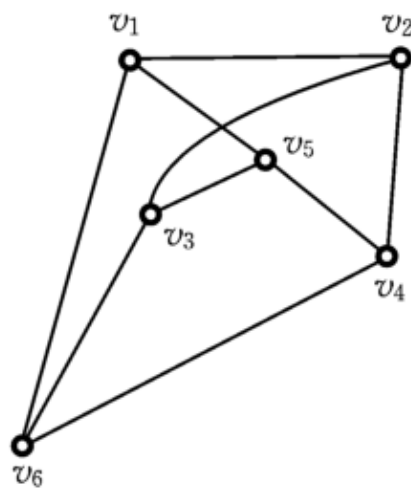
解 (1)  $G_1$  的结点数  $n=6$ , 边数  $m=13$ ,  $G_1$  连通. 若  $G_1$  是平面图, 则  $m=13 \leq 3n-6=18-6=12$  矛盾, 所以  $G_1$  是非平面图.

(2) 取  $G_2$  的子图  $G'_2$ , 如图 8-37(1)所示.  $G'_2$  在度为 2 的结点内与  $K_{3,3}$  同构, 如图 8-37(2)所示. 由 Kuratowski 定理知  $G_2$  是非平面图.

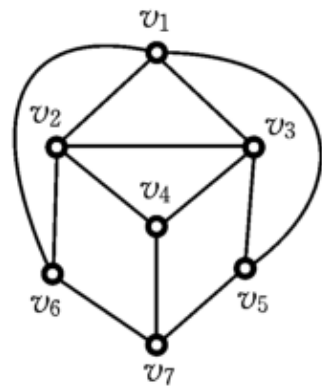
(3)  $G_3$  能画出如图 8-37(3)所示的平面图解, 故是平面图.



(1)



(2)



(3)

**例 8-42** 若  $(n, m)$  图  $G$  是有  $r$  个分图的树林, 则  $m = n - r$ .

**证** 因为树林的每个分图是树, 即  $G$  的  $r$  个分图  $G_1, G_2, \dots, G_r$  均是树. 设  $G_i$  有  $n_i$  个结点,  $m_i (i=1, 2, \dots, r)$  条边, 则由定理 8.14.1 知  $m_i = n_i - 1 (i=1, 2, \dots, r)$ , 所以

$$\begin{aligned} m &= m_1 + m_2 + \dots + m_r = (n_1 - 1) + \dots + (n_r - 1) \\ &= (n_1 + \dots + n_r) - r = n - r. \end{aligned}$$

**例 8-43** 试证明若图  $G$  的每一结点的度为 2, 则  $G$  的每一分图均将包含一环.

**证** 假设  $G$  的某一分图  $G_k$  不含环, 且  $G_k$  为  $(n_k, m_k)$  图, 由条件知  $G_k$  的每一结点的度数为 2, 于是

$$2m_k = \sum_{i=1}^{n_k} \deg(v_i) = 2n_k, \quad m_k = n_k.$$

又  $G_k$  连通且无环, 故是树. 由定理 8.14.1 知  $m_k = n_k - 1$  与  $m_k = n_k$  矛盾, 因此,  $G$  中每个分图必含环.

**例 8-48** 试证明  $n$  阶图  $G$  中奇次度结点的个数与  $\bar{G}$  中奇次度结点的个数相等, 其中  $n$  为奇数(度数为奇数的结点, 称为奇次度结点).

**证** 因为  $n$  为奇数, 所以  $n$  阶完全图  $K_n$  的每个结点的度数  $n-1$  为偶数.

设  $v$  是  $G$  中任一奇次度结点,  $\deg(v) = k$ .

在  $\bar{G}$  中记  $\deg(v) = k'$ , 则  $k + k' = n - 1$ , 于是  $k'$  为奇数.

由  $v$  的任意性知  $G$  中任一奇次度结点, 一定也是  $\bar{G}$  中奇次度结点. 又  $G$  与  $\bar{G}$  互补. 因此, 结论成立.

**例 8-52** 证明恰有 2 片树叶的树为一条真路.

**证** 设  $T$  为恰有 2 片树叶的  $(n, m)$  树, 则由握手定理知

$$2m = \sum_{i=1}^n \deg(v_i) = 2 + \sum_{i=1}^{n-2} \deg(v_i),$$

其中  $v_n, v_{n-1}$  为树叶.

另一方面,  $T$  是树, 所以  $m = n - 1$ , 于是

$$2n - 2 = 2 + \sum_{i=1}^{n-2} \deg(v_i), \quad \text{即} \quad \sum_{i=1}^{n-2} \deg(v_i) = 2(n - 2).$$

由条件知,  $T$  中除 2 个叶结点外, 其余  $n - 2$  个分支结点度数均大于等于 2.

因此, 这  $n - 2$  个分支结点的度数只能都为 2, 故  $T$  有一条欧拉路. 所以  $T$  为一条真路.



**例 8-54** 若  $G$  是一个平面图, 有  $r$  个分图, 证明  $n - m + k = r + 1$ , 其中  $n, m, k$  分别为  $G$  的结点数、边数和面数.

**证** 设  $G$  的  $r$  个分图为  $G_1, G_2, \dots, G_r$ , 由于  $G$  是平面图, 所以  $G_i$  是平面连通图, 记  $G_i$  的结点数、边数、面数分别为  $n_i, m_i, k_i (i=1, 2, \dots, r)$ , 于是由欧拉公式得

$$n_i - m_i + k_i = 2 \quad (i=1, 2, \dots, r). \quad (1)$$

而  $n = \sum_{i=1}^r n_i, m = \sum_{i=1}^r m_i, k = \sum_{i=1}^r k_i - (r - 1)$  (因为每个分图均将无限面记数一次).

对式(1) 两边求和得

$$n - m + k + (r - 1) = 2r, \quad n - m + k = r + 1.$$

**注意** 该式是对欧拉公式的推广.

**例 8-55** 设  $(n, m)$  图  $G$  是有  $r$  个分图的平面图,  $G$  的每个面至少由  $l (\geq 3)$  条边围成, 则

$$m \leq \frac{l(n-r-1)}{l-2}.$$

**证** 设  $G$  有  $k$  个面,  $k$  个面的各边界长度之和为  $S$ , 则  $S \geq l \cdot k$ .

另一方面, 每条边至多在两个面的边界中, 所以  $S \leq 2m$ , 于是  $2m \geq l \cdot k$ , 即

$$k \leq \frac{2m}{l}. \tag{1}$$

根据欧拉公式的推广(例 8-53)得

$$n - m + k = r + 1. \tag{2}$$

将式(1)代入式(2)得

$$n - m + \frac{2m}{l} \geq r + 1.$$

经整理后为

$$m \leq \frac{l}{l-2}(n-r-1).$$